

Zulassungsstelle für Bauprodukte und Bauarten

Bautechnisches Prüfamts

Eine vom Bund und den Ländern  
gemeinsam getragene Anstalt des öffentlichen Rechts



## Europäische Technische Bewertung

ETA-19/0601  
vom 10. Dezember 2019

### Allgemeiner Teil

Technische Bewertungsstelle, die die Europäische Technische Bewertung ausstellt

Handelsname des Bauprodukts

Produktfamilie,  
zu der das Bauprodukt gehört

Hersteller

Herstellungsbetrieb

Diese Europäische Technische Bewertung enthält

Diese Europäische Technische Bewertung wird ausgestellt gemäß der Verordnung (EU) Nr. 305/2011, auf der Grundlage von

Deutsches Institut für Bautechnik

Injektionssystem Hilti HIT-HY 200-R V3

Verbunddübel zur Verankerung im Beton

Hilti Aktiengesellschaft  
Feldkircherstrasse 100  
9494 SCHAAN  
FÜRSTENTUM LIECHTENSTEIN

Hilti Werke

40 Seiten, davon 3 Anhänge, die fester Bestandteil dieser Bewertung sind.

EAD 330499-01-0601

Die Europäische Technische Bewertung wird von der Technischen Bewertungsstelle in ihrer Amtssprache ausgestellt. Übersetzungen dieser Europäischen Technischen Bewertung in andere Sprachen müssen dem Original vollständig entsprechen und müssen als solche gekennzeichnet sein.

Diese Europäische Technische Bewertung darf, auch bei elektronischer Übermittlung, nur vollständig und ungekürzt wiedergegeben werden. Nur mit schriftlicher Zustimmung der ausstellenden Technischen Bewertungsstelle kann eine teilweise Wiedergabe erfolgen. Jede teilweise Wiedergabe ist als solche zu kennzeichnen.

Die ausstellende Technische Bewertungsstelle kann diese Europäische Technische Bewertung widerrufen, insbesondere nach Unterrichtung durch die Kommission gemäß Artikel 25 Absatz 3 der Verordnung (EU) Nr. 305/2011.

## Besonderer Teil

### 1 Technische Beschreibung des Produkts

Das Injektionssystem Hilti HIT-HY 200-R V3 ist ein Verbunddübel, der aus einem Foliengebilde mit Injektionsmörtel Hilti HIT-HY 200-R V3 und einem Stahlteil gemäß Anhang A besteht.

Das Stahlteil wird in ein mit Injektionsmörtel gefülltes Bohrloch gesteckt und durch Verbund zwischen Stahlteil, Injektionsmörtel und Beton verankert.

Die Produktbeschreibung ist in Anhang A angegeben.

### 2 Spezifizierung des Verwendungszwecks gemäß dem anwendbaren Europäischen Bewertungsdokument

Von den Leistungen in Abschnitt 3 kann nur ausgegangen werden, wenn der Dübel entsprechend den Angaben und Bedingungen nach Anhang B verwendet wird.

Die Prüf- und Bewertungsmethoden, die dieser Europäischen Technischen Bewertung zu Grunde liegen, führen zur Annahme einer Nutzungsdauer des Dübels von mindestens 50 Jahren. Die Angabe der Nutzungsdauer kann nicht als Garantie des Herstellers verstanden werden, sondern ist lediglich ein Hilfsmittel zur Auswahl des richtigen Produkts in Bezug auf die angenommene wirtschaftlich angemessene Nutzungsdauer des Bauwerks.

### 3 Leistung des Produkts und Angaben der Methoden ihrer Bewertung

#### 3.1 Mechanische Festigkeit und Standsicherheit (BWR 1)

Wesentliches Merkmal	Leistung
Charakteristischer Widerstand für statische und quasi-statische Einwirkungen unter Zugbeanspruchung	Siehe Anhang C1 bis C8
Charakteristischer Widerstand für statische und quasi-statische Einwirkungen unter Querbeanspruchung	Siehe Anhang C2, C4, C6, C8
Verschiebungen für statische und quasi-statische Einwirkungen	Siehe Anhang C9 bis C12
Charakteristischer Widerstand und Verschiebungen für seismische Leitungskategorie C1 und C2	Siehe Anhang C13 bis C17
Dauerhaftigkeit	Siehe Anhang B2

#### 3.2 Hygiene, Gesundheit und Umweltschutz (BWR 3)

Wesentliches Merkmal	Leistung
Inhalt, Emission und/oder Freisetzung von gefährlichen Stoffen	Leistung nicht bewertet

**4 Angewandtes System zur Bewertung und Überprüfung der Leistungsbeständigkeit mit der Angabe der Rechtsgrundlage**

Gemäß EAD 330499-01-0601 gilt folgende Rechtsgrundlage: [96/582/EG].

Folgendes System ist anzuwenden: 1

**5 Für die Durchführung des Systems zur Bewertung und Überprüfung der Leistungsbeständigkeit erforderliche technische Einzelheiten gemäß anwendbarem Europäischen Bewertungsdokument**

Technische Einzelheiten, die für die Durchführung des Systems zur Bewertung und Überprüfung der Leistungsbeständigkeit notwendig sind, sind Bestandteil des Prüfplans, der beim Deutschen Institut für Bautechnik hinterlegt ist.

Ausgestellt in Berlin am 10. Dezember 2019 vom Deutschen Institut für Bautechnik

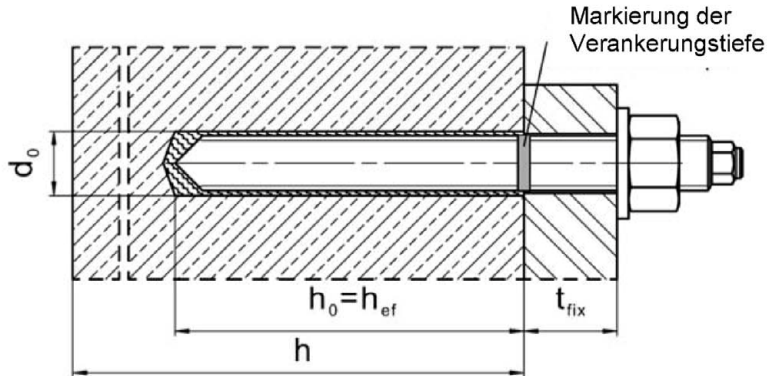
BD Dipl.-Ing. Andreas Kummerow  
Abteilungsleiter

Beglaubigt

## Einbauzustand

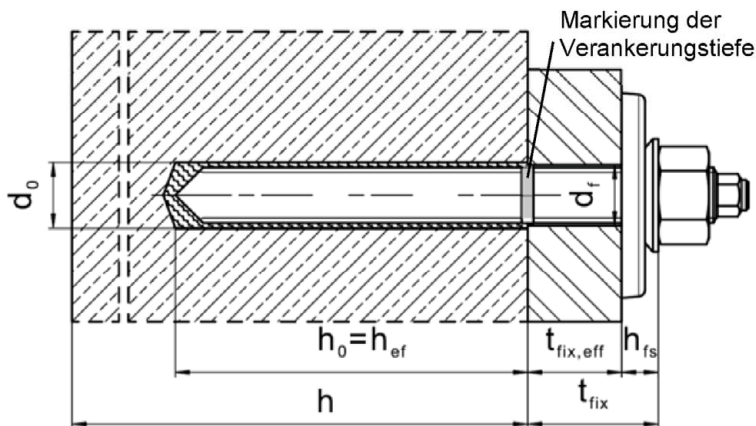
### Bild A1:

Gewindestange, HAS-U-..., HIT-V-... und AM 8.8



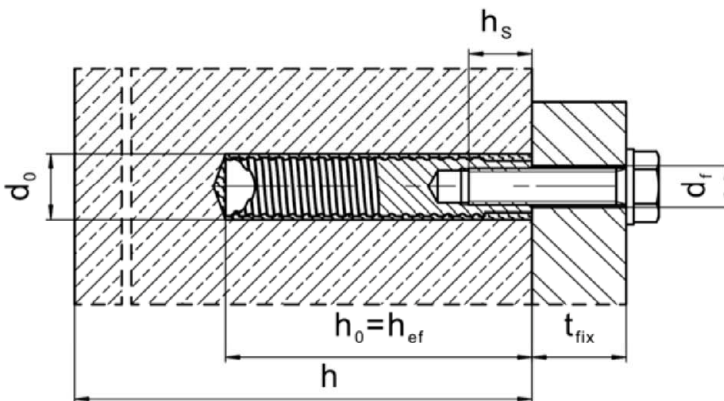
### Bild A2:

Gewindestange, HAS-U-..., HIT-V-... und AM 8.8 mit Hilti Verfüll-Set



### Bild A3:

Innengewindehülse HIS-(R)N



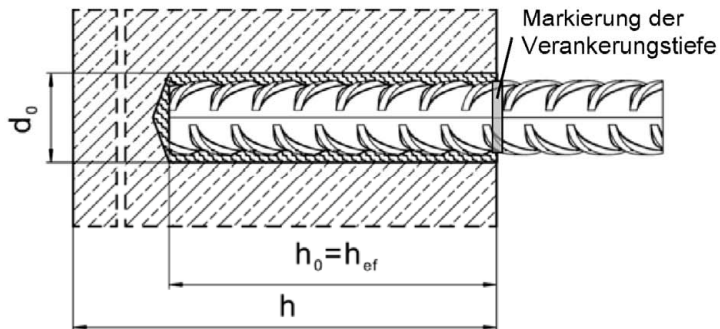
Injektionssystem Hilti HIT-HY 200-R V3

Produktbeschreibung  
Einbauzustand

Anhang A1

## Einbauzustand

**Bild A4:**  
**Betonstahl**



Injektionssystem Hilti HIT-HY 200-R V3

Produktbeschreibung  
Einbauzustand

Anhang A2

## Produktbeschreibung: Injektionsmörtel und Stahlelemente

**Injektionsmörtel Hilti HIT-HY 200-R V3: Hybridsystem mit Zuschlag**  
330 ml und 500 ml

Kennzeichnung:  
HILTI-HIT  
Chargennummer und  
Produktionslinie  
Verfallsdatum mm/yyyy

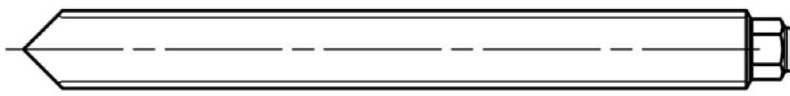


Produktname: "Hilti HIT-HY 200-R V3"

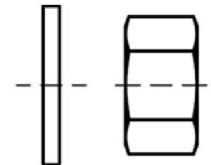
### Statikmischer Hilti HIT-RE-M



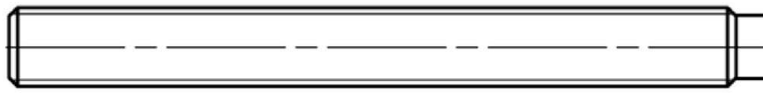
### Stahlelemente



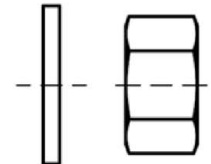
**HAS-U-....: M8 bis M30**



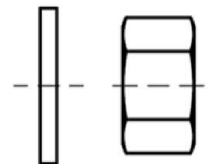
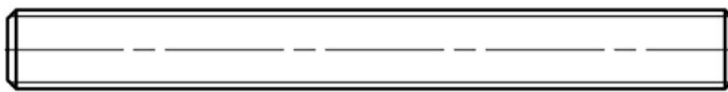
Scheibe Mutter



**HIT-V-....: M8 bis M30**



Scheibe Mutter



Scheibe Mutter

**Gewindestange: M8 bis M30**

**Hilti AM 8.8 Gewindestange Meterware galvanisch verzinkt: M8 bis M30, 1m bis 3m**

**Hilti AM HDG 8.8 Gewindestange Meterware feuerverzinkt: M8 bis M30, 1m bis 3m**

Handelsübliche Gewindestange:

- Werkstoffe und mechanische Eigenschaften nach Tabelle A1.
- Abnahmeprüfzeugnis 3.1 nach EN 10204:2004. Die Dokumente sind aufzubewahren.
- Markierung der Verankerungstiefe.

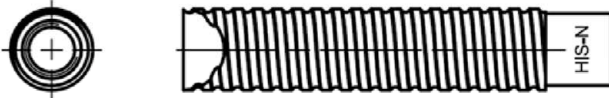
**Injektionssystem Hilti HIT-HY 200-R V3**

**Produktbeschreibung**

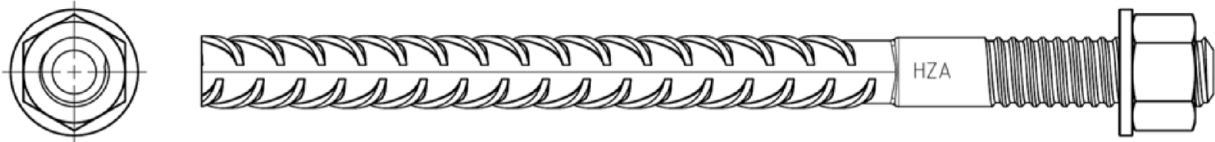
Injektionsmörtel / Statikmischer / Stahlelemente

**Anhang A3**

**Stahlelemente**



**Innengewindehülse: HIS-(R)N M8 bis M20**



**Hilti Zuganker: HZA M12 bis M27 und HZA-R M12 bis M24**



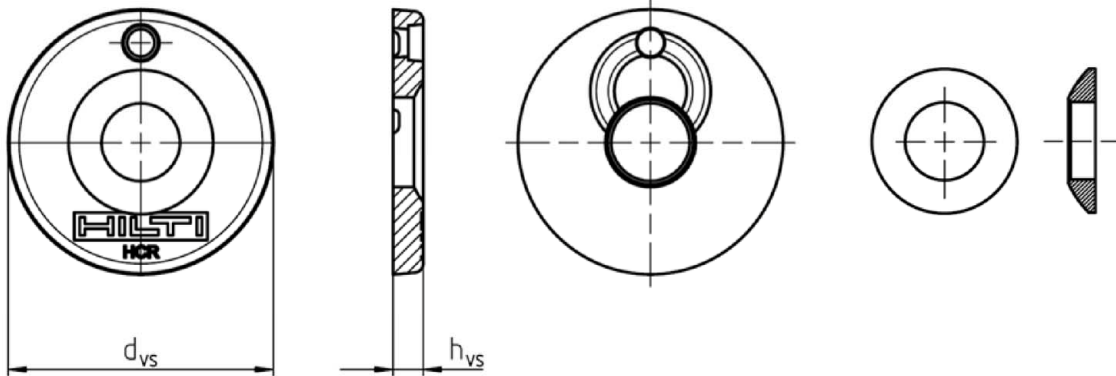
**Betonstahl (rebar):  $\phi$  8 bis  $\phi$  32**

- Werkstoffe und mechanische Eigenschaften nach Tabelle A1
- Maße nach Anhang B6

**Hilti Verfüll-Set zum Verfüllen des Ringspalts zwischen Anker und Anbauteil**

Verschlusscheibe

Kugelscheibe



Hilti Verfüll-Set			M16	M20	M24
Durchmesser der Verschlusscheibe	d <sub>vs</sub>	[mm]	56	60	70
Höhe der Verschlusscheibe	h <sub>vs</sub>	[mm]	6		
Höhe des Verfüll-Sets	h <sub>rs</sub>	[mm]	11	13	15

**Injektionssystem Hilti HIT-HY 200-R V3**

**Produktbeschreibung**  
Injektionsmörtel / Statikmischer / Stahlelemente

**Anhang A4**

**Tabelle A1: Werkstoffe**

Bezeichnung	Werkstoff
Betonstahl (rebar)	
Betonstahl: EN 1992-1-1: 2004 und AC:2010, Anhang C	Stäbe und Betonstabstahl vom Ring Klasse B oder C mit $f_{yk}$ und $k$ nach NDP oder NCL des EN 1992-1-1/NA $f_{uk} = f_{tk} = k \cdot f_{yk}$ .
<b>Stahlteile aus verzinktem Stahl</b>	
HAS-U-5.8 (HDG), HIT-V-5.8(F), Gewindestange	Festigkeitsklasse 5.8, $f_{uk} = 500 \text{ N/mm}^2$ , $f_{yk} = 400 \text{ N/mm}^2$ , Bruchdehnung ( $l_0=5d$ ) > 8% duktil. Galvanisch verzinkt $\geq 5 \mu\text{m}$ , (F) oder (HDG) feuerverzinkt $\geq 45 \mu\text{m}$ .
HAS-U-8.8 (HDG), HIT-V-8.8(F), Gewindestange	Festigkeitsklasse 8.8, $f_{uk} = 800 \text{ N/mm}^2$ , $f_{yk} = 640 \text{ N/mm}^2$ , Bruchdehnung ( $l_0=5d$ ) > 12% duktil. Galvanisch verzinkt $\geq 5 \mu\text{m}$ , (F) oder (HDG) feuerverzinkt $\geq 45 \mu\text{m}$ .
Hilti Meter Stange AM 8.8 (HDG)	Festigkeitsklasse 8.8, $f_{uk} = 800 \text{ N/mm}^2$ , $f_{yk} = 640 \text{ N/mm}^2$ Bruchdehnung ( $l_0 = 5d$ ) > 12% duktil. Galvanisch verzinkt $\geq 5 \mu\text{m}$ , (HDG) feuerverzinkt $\geq 45 \mu\text{m}$ .
Hilti Zuganker HZA	Rundstahl mit Gewinde: galvanisch verzinkt $\geq 5 \mu\text{m}$ . Betonstahl: Betonstabstahl Klasse B gemäß NDP oder NCL des EN 1992-1-1/NA.
Innengewindehülse HIS-N	Galvanisch verzinkt $\geq 5 \mu\text{m}$ .
Scheibe	Galvanisch verzinkt $\geq 5 \mu\text{m}$ , feuerverzinkt $\geq 45 \mu\text{m}$ .
Mutter	Festigkeit der Mutter abgestimmt auf Festigkeit der Ankerstange. Galvanisch verzinkt $\geq 5 \mu\text{m}$ , (F) feuerverzinkt $\geq 45 \mu\text{m}$ .
Hilti Verfüll-Set (F)	Verschluss Scheibe: Galvanisch verzinkt $\geq 5 \mu\text{m}$ , (F) feuerverzinkt $\geq 45 \mu\text{m}$ . Kugelscheibe: Galvanisch verzinkt $\geq 5 \mu\text{m}$ , (F) feuerverzinkt $\geq 45 \mu\text{m}$ . Sicherungsmutter: Galvanisch verzinkt $\geq 5 \mu\text{m}$ , (F) feuerverzinkt $\geq 45 \mu\text{m}$ .

**Injektionssystem Hilti HIT-HY 200-R V3**

**Produktbeschreibung**  
Werkstoffe

**Anhang A5**

**Tabelle A1: fortgesetzt**

<b>Stahlteile aus nichtrostendem Stahl der Korrosionsbeständigkeitsklasse III gemäß DIN EN 1993-1-4:2015</b>	
HAS-U A4, HIT-V-R	Für ≤ M24: Festigkeitsklasse 70, $f_{uk} = 700 \text{ N/mm}^2$ , $f_{yk} = 450 \text{ N/mm}^2$ , Für > M24: Festigkeitsklasse 50, $f_{uk} = 500 \text{ N/mm}^2$ , $f_{yk} = 210 \text{ N/mm}^2$ , Bruchdehnung ( $l_0=5d$ ) > 8% duktil.
Gewindestange	Für ≤ M24: Festigkeitsklasse 70, $f_{uk} = 700 \text{ N/mm}^2$ , $f_{yk} = 450 \text{ N/mm}^2$ ; Für > M24: Festigkeitsklasse 50, $f_{uk} = 500 \text{ N/mm}^2$ , $f_{yk} = 210 \text{ N/mm}^2$ ; Bruchdehnung ( $l_0=5d$ ) > 8% duktil. Nichtrostender Stahl 1.4401, 1.4404, 1.4578, 1.4571, 1.4439, 1.4362 EN 10088-1:2014
Hilti Zuganker HZA-R	Rundstahl mit Gewinde: Nichtrostender Stahl 1.4404, 1.4362, 1.4571 EN 10088-1:2014. Betonstahl: Betonstabstahl Klasse B gemäß NDP oder NCL des EN 1992-1-1/NA.
Innengewindehülse HIS-RN	Nichtrostender Stahl 1.4401, 1.4571 EN 10088-1:2014.
Scheibe	Nichtrostender Stahl 1.4401, 1.4404, 1.4578, 1.4571, 1.4439, 1.4362 EN 10088-1:2014
Mutter	Für ≤ M24: Festigkeitsklasse 70, $f_{uk} = 700 \text{ N/mm}^2$ , $f_{yk} = 450 \text{ N/mm}^2$ , Für > M24: Festigkeitsklasse 50, $f_{uk} = 500 \text{ N/mm}^2$ , $f_{yk} = 210 \text{ N/mm}^2$ , Nichtrostender Stahl 1.4401, 1.4404, 1.4578, 1.4571, 1.4439, 1.4362 EN 10088-1:2014
<b>Stahlteile aus hochkorrosionsbeständigem Stahl der Korrosionsbeständigkeitsklasse V gemäß DIN EN 1993-1-4:2015</b>	
HAS-U HCR, HIT-V-HCR	Für ≤ M20: $f_{uk} = 800 \text{ N/mm}^2$ , $f_{yk} = 640 \text{ N/mm}^2$ , Für > M20: $f_{uk} = 700 \text{ N/mm}^2$ , $f_{yk} = 400 \text{ N/mm}^2$ , Bruchdehnung ( $l_0=5d$ ) > 8% duktil.
Gewindestange	Für ≤ M20: $f_{uk} = 800 \text{ N/mm}^2$ , $f_{yk} = 640 \text{ N/mm}^2$ , Für > M20: $f_{uk} = 700 \text{ N/mm}^2$ , $f_{yk} = 400 \text{ N/mm}^2$ , Bruchdehnung ( $l_0=5d$ ) > 8% duktil. Hochkorrosionsbeständiger Stahl 1.4529, 1.4565 EN 10088-1:2014.
Scheibe	Hochkorrosionsbeständiger Stahl 1.4529, 1.4565 EN 10088-1:2014.
Mutter	Für ≤ M20: $f_{uk} = 800 \text{ N/mm}^2$ , $f_{yk} = 640 \text{ N/mm}^2$ , Für > M20: $f_{uk} = 700 \text{ N/mm}^2$ , $f_{yk} = 400 \text{ N/mm}^2$ , Hochkorrosionsbeständiger Stahl 1.4529, 1.4565 EN 10088-1:2014.

**Injektionssystem Hilti HIT-HY 200-R V3**

**Produktbeschreibung**  
Werkstoffe

**Anhang A6**

## Spezifizierung des Verwendungszwecks

### Beanspruchung der Verankerung:

- Statische und quasistatische Belastung.
- Seismische Leistungskategorie C1 und C2 (siehe Tabelle B1).

### Verankerungsgrund:

- Verdichteter bewehrter oder unbewehrter Normalbeton ohne Fasern nach EN 206:2013+A1:2016.
- Festigkeitsklassen C20/25 bis C50/60 nach EN 206-1:2013+A1:2016.
- Gerissener und ungerissener Beton.

### Temperatur im Verankerungsgrund:

- **Beim Einbau**  
-10 °C bis +40 °C für die übliche Temperaturveränderung nach dem Einbau
- **Im Nutzungszustand**  
Temperaturbereich I: -40 °C bis +40 °C  
(max. Langzeittemperatur +24 °C und max. Kurzzeittemperatur +40 °C)  
Temperaturbereich II: -40 °C bis +80 °C  
(max. Langzeittemperatur +50 °C und max. Kurzzeittemperatur +80 °C)  
Temperaturbereich III: -40 °C bis +120 °C  
(max. Langzeittemperatur +72 °C und max. Kurzzeittemperatur +120 °C)

**Tabelle B1: Spezifikationen des Verwendungszweckes**

Elemente	HIT-HY 200-R V3 mit ...			
	HAS-U-..., HIT-V-..., AM 8.8 	Betonstahl 	HZA(-R) 	HIS(-R)N 
Hammerbohren mit Hohlbohrer TE-CD oder TE-YD 	✓	✓	✓	✓
Hammerbohren 	✓	✓	✓	✓
Diamantbohren mit Aufrauhwerkzeug TE-YRT  	✓	✓	✓	✓
Statische und quasistatische Belastung in gerissenem und ungerissenem Beton	M8 bis M30	φ 8 bis φ 32	M12 bis M27	M8 bis M20
Seismische Leistungskategorie C1	M10 bis M30	φ 10 bis φ 32	M12 bis M27	-
Seismische Leistungskategorie C2	M16 bis M24, HAS-U 8.8, HIT-V 8.8, AM 8.8, HAS-U 8.8 HDG, HIT-V-F 8.8, AM HDG 8.8 Handelsübliche Gewindestange (nur galvanisch verzinkt)	-	-	-

Injektionssystem Hilti HIT-HY 200-R V3

Verwendungszweck  
Spezifizierung

Anhang B1

**Anwendungsbedingungen (Umweltbedingungen):**

- Bauteile unter den Bedingungen trockener Innenräume (alle Stahlsorten).
- Für alle anderen Bedingungen entsprechend DIN EN 1993-1-4:2015: Korrosionsbeständigkeitsklasse nach Anhang A6 Tabelle A1 (nichtrostende Stähle).

**Bemessung:**

- Die Befestigungen müssen unter der Verantwortung eines auf dem Gebiet der Verankerungen und des Betonbaus erfahrenen Ingenieurs bemessen werden.
- Unter Berücksichtigung der zu verankernden Lasten sind prüfbare Berechnungen und Konstruktionszeichnungen anzufertigen. Auf den Konstruktionszeichnungen ist die Lage des Befestigungselements (z.B. Lage des Befestigungselements zur Bewehrung oder zu den Auflagern usw.) anzugeben.
- Die Bemessung der Verankerungen erfolgt in Übereinstimmung mit: EN 1992-4:2018 und EOTA Technical Report TR 055.

**Einbau:**

- Nutzungskategorie: trockener oder feuchter Beton (nicht in mit Wasser gefüllten Bohrlöchern) für alle Bohrverfahren.
- Bohrverfahren:
  - Hammerbohren,
  - Hammerbohren mit Hilti Hohlbohrer TE-CD, TE-YD,
  - Diamantbohren mit nachfolgendem Aufrauen mit Hilti Aufrauwerkzeug TE-YRT.
- Montagerichtung D3: vertikal nach unten, horizontal und vertikal nach oben (z.B. Überkopf) für alle Elemente zulässig.
- Der Einbau erfolgt durch entsprechend geschulten Personals unter der Aufsicht des Bauleiters.

**Injektionssystem Hilti HIT-HY 200-R V3**

**Verwendungszweck**  
Spezifizierung

**Anhang B2**

**Tabelle B2: Montagekennwerte Gewindestange, HAS-U-..., HIT-V-... und AM 8.8**

Gewindestange, HAS-U- ..., HIT-V-..., AM 8.8			M8	M10	M12	M16	M20	M24	M27	M30
Elementdurchmesser	d	[mm]	8	10	12	16	20	24	27	30
Bohrerinnendurchmesser	d <sub>0</sub>	[mm]	10	12	14	18	22	28	30	35
Setztiefe und Bohrlochtiefe	h <sub>ef</sub> = h <sub>0</sub>	[mm]	60 bis 160	60 bis 200	70 bis 240	80 bis 320	90 bis 400	96 bis 480	108 bis 540	120 bis 600
Maximaler Durchmesser des Durchgangslochs im Anbauteil	d <sub>f</sub>	[mm]	9	12	14	18	22	26	30	33
Höhe des Verfüll-Sets	h <sub>fs</sub>	[mm]	-	-	-	11	13	15	-	-
Effektive Anbauteildicke mit Hilti Verfüll-Set	t <sub>fix,eff</sub>	[mm]	t <sub>fix,eff</sub> = t <sub>fix</sub> - h <sub>fs</sub>							
Minimale Bauteildicke	h <sub>min</sub>	[mm]	h <sub>ef</sub> + 30 ≥ 100 mm			h <sub>ef</sub> + 2 · d <sub>0</sub>				
Maximales Anzugsdrehmoment	T <sub>max</sub>	[Nm]	10	20	40	80	150	200	270	300
Minimaler Achsabstand	s <sub>min</sub>	[mm]	40	50	60	75	90	115	120	140
Minimaler Randabstand	c <sub>min</sub>	[mm]	40	45	45	50	55	60	75	80

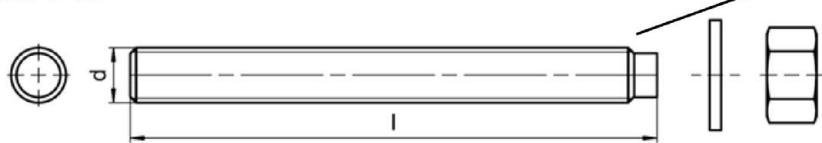
**HAS-U-...**



**Kennzeichnung:**

Zahl für Festigkeitsklasse und Buchstabe zur Längenidentifikation: z. B. 8L.

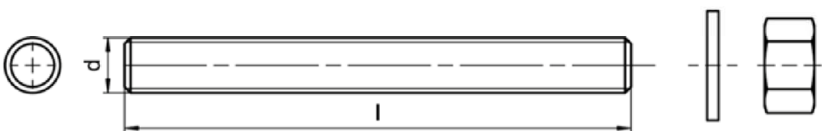
**HIT-V-...**



**Kennzeichnung:**

5.8 - l = HIT-V-5.8 M...x l  
5.8F - l = HIT-V-5.8F M...x l  
8.8 - l = HIT-V-8.8 M...x l  
8.8F - l = HIT-V-8.8F M...x l  
R - l = HIT-V-R M...x l  
HCR - l = HIT-V-HCR M...x l

**Hilti Gewindestange Meterware AM (HDG) 8.8**



Injektionssystem Hilti HIT-HY 200-R V3

**Verwendungszweck**

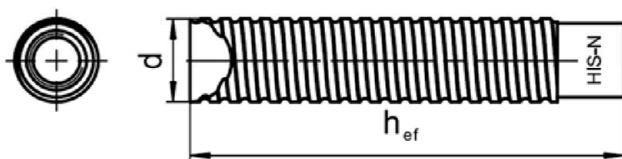
Montagekennwerte für Gewindestange, HAS-U-..., HIT-V-... und AM 8.8

**Anhang B3**

**Tabelle B3: Montagekennwerte Innengewindehülse HIS-(R)N**

Innengewindehülse HIS-(R)N...			M8	M10	M12	M16	M20
Außendurchmesser Hülse	d	[mm]	12,5	16,5	20,5	25,4	27,6
Bohrerinnendurchmesser	d <sub>0</sub>	[mm]	14	18	22	28	32
Setztiefe und Bohrlochtiefe	h <sub>ef</sub> = h <sub>0</sub>	[mm]	90	110	125	170	205
Maximaler Durchmesser des Durchgangslochs im Anbauteil	d <sub>f</sub>	[mm]	9	12	14	18	22
Minimale Bauteildicke	h <sub>min</sub>	[mm]	120	150	170	230	270
Maximales Anzugsdrehmoment	T <sub>max</sub>	[Nm]	10	20	40	80	150
Einschraubtiefe min-max	h <sub>s</sub>	[mm]	8-20	10-25	12-30	16-40	20-50
Minimaler Achsabstand	s <sub>min</sub>	[mm]	60	75	90	115	130
Minimaler Randabstand	c <sub>min</sub>	[mm]	40	45	55	65	90

**Innengewindehülse HIS-(R)N...**



**Kennzeichnung:**

Identifizierung - HILTI und  
Prägung "HIS-N" (für C-Stahl)  
Prägung "HIS-RN" (für rostfreien Stahl)

**Injektionssystem Hilti HIT-HY 200-R V3**

**Verwendungszweck**  
Montagekennwerte für Innengewindehülse HIS-(R)N

**Anhang B4**

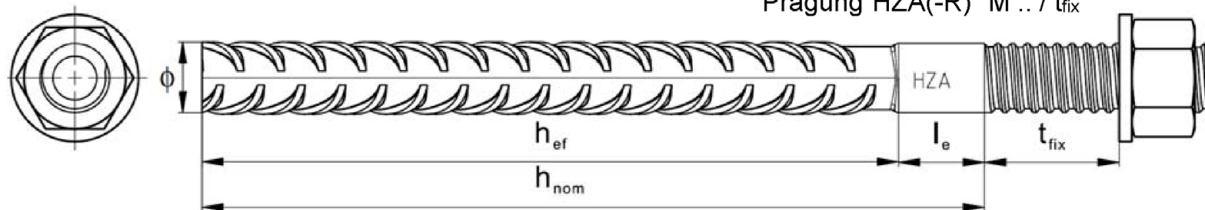
**Tabelle B4: Montagekennwerte Hilti Zuganker HZA-R**

Hilti Zuganker HZA-R ...		M12	M16	M20	M24
Betonstahl Durchmesser	$\phi$ [mm]	12	16	20	25
Nominelle Einbindetiefe und Bohrlochtiefe	$h_{nom} = h_0$ [mm]	170 bis 240	180 bis 320	190 bis 400	200 bis 500
Setztiefe ( $h_{ef} = h_{nom} - l_e$ )	$h_{ef}$ [mm]	$h_{nom} - 100$			
Länge des glatten Schaftes	$l_e$ [mm]	100			
Bohrernenddurchmesser	$d_0$ [mm]	16	20	25	32
Maximaler Durchmesser des Durchgangslochs im Anbauteil	$d_f$ [mm]	14	18	22	26
Maximales Anzugsdrehmoment	$T_{max}$ [Nm]	40	80	150	200
Minimale Bauteildicke	$h_{min}$ [mm]	$h_{nom} + 2 \cdot d_0$			
Minimaler Achsabstand	$s_{min}$ [mm]	65	80	100	130
Minimaler Randabstand	$c_{min}$ [mm]	45	50	55	60

**Tabelle B5: Montagekennwerte Hilti Zuganker HZA**

Hilti Zuganker HZA...		M12	M16	M20	M24	M27
Betonstahl Durchmesser	$\phi$ [mm]	12	16	20	25	28
Nominelle Einbindetiefe und Bohrlochtiefe	$h_{nom} = h_0$ [mm]	90 bis 240	100 bis 320	110 bis 400	120 bis 500	140 bis 560
Setztiefe ( $h_{ef} = h_{nom} - l_e$ )	$h_{ef}$ [mm]	$h_{nom} - 20$				
Länge des glatten Schaftes	$l_e$ [mm]	20				
Bohrernenddurchmesser	$d_0$ [mm]	16	20	25	32	35
Maximaler Durchmesser des Durchgangslochs im Anbauteil	$d_f$ [mm]	14	18	22	26	30
Maximales Anzugsdrehmoment	$T_{max}$ [Nm]	40	80	150	200	270
Minimale Bauteildicke	$h_{min}$ [mm]	$h_{nom} + 2 \cdot d_0$				
Minimaler Achsabstand	$s_{min}$ [mm]	65	80	100	130	140
Minimaler Randabstand	$c_{min}$ [mm]	45	50	55	60	75

**Kennzeichnung:**  
Prägung "HZA(-R)" M .. / t<sub>fix</sub>



**Injektionssystem Hilti HIT-HY 200-R V3**

**Verwendungszweck**  
Montagekennwerte Hilti Zuganker HZA(-R)

**Anhang B5**

**Tabelle B6: Montagekennwerte Betonstahl**

Betonstahl (rebar)			$\phi$ 8	$\phi$ 10	$\phi$ 12	$\phi$ 14	$\phi$ 16	$\phi$ 20	$\phi$ 25	$\phi$ 26	$\phi$ 28	$\phi$ 30	$\phi$ 32
Durchmesser	$\phi$	[mm]	8	10	12	14	16	20	25	26	28	30	32
Wirksame Verankerungstiefe und Bohrlochtiefe	$h_{ef} = h_0$	[mm]	60 bis 160	60 bis 200	70 bis 240	75 bis 280	80 bis 320	90 bis 400	100 bis 500	104 bis 520	112 bis 560	120 bis 600	128 bis 640
Nenn Durchmesser des Bohrer	$d_0$	[mm]	10 / 12 <sup>1)</sup>	12 / 14 <sup>1)</sup>	14 <sup>1)</sup> / 16 <sup>1)</sup>	18	20	25	32	32	35	37	40
Minimale Bauteildicke	$h_{min}$	[mm]	$h_{ef} + 30$ $\geq 100$ mm			$h_{ef} + 2 \cdot d_0$							
Minimaler Achsabstand	$s_{min}$	[mm]	40	50	60	70	80	100	125	130	140	150	160
Minimaler Randabstand	$c_{min}$	[mm]	40	45	45	50	50	65	70	75	75	80	80

<sup>1)</sup> Beide angegebenen Durchmesser können verwendet werden.

### Betonstahl



### Für Betonstahl

- Mindestwerte der bezogenen Rippenfläche  $f_{R,min}$  nach EN 1992-1-1:2004+AC:2010
- Die Rippenhöhe des Betonstahls  $h_{rib}$  soll im folgenden Bereich liegen  $0,05 \cdot \phi \leq h_{rib} \leq 0,07 \cdot \phi$   
( $\phi$ : Nomineller Durchmesser des Betonstahls;  $h_{rib}$ : Rippenhöhe des Betonstahls)

Injektionssystem Hilti HIT-HY 200-R V3

Verwendungszweck  
Montagekennwerte Betonstahl

Anhang B6

**Tabelle B7: Maximale Verarbeitungszeit und min. Aushärtezeit Hilti-HY 200-R V3**

Temperatur im Verankerungsgrund T	Maximale Verarbeitungszeit $t_{work}$	Minimale Aushärtezeit $t_{cure}$
-10 °C bis -5 °C	3 h	20 h
> -5 °C bis 0 °C	1,5 h	8 h
> 0 °C bis 5 °C	45 min	4 h
> 5 °C bis 10 °C	30 min	2,5 h
> 10 °C bis 20 °C	15 min	1,5 h
> 20 °C bis 30 °C	9 min	1 h
> 30 °C bis 40 °C	6 min	1 h

Elektronische Kopie der ETA des DIBt: ETA-19/0601

**Injektionssystem Hilti HIT-HY 200-R V3**

**Verwendungszweck**  
Maximale Verarbeitungszeit und minimale Aushärtezeit

**Anhang B7**

**Tabelle B8: Angaben zu Bohr- und Reinigungswerkzeugen**

Elemente				Bohren und Reinigen					Installa- tion
Gewinde- stange, HAS-U-..., HIT-V-..., AM 8.8	HIS-(R)N	Beton- stahl	HZA(-R)	Hammerbohren	Hohl- bohrer	Diamantbohren	Aufrau- werkzeug	Bürste	Stau- zapfen
									
Größe	Größe	Größe	Größe	d <sub>0</sub> [mm]	d <sub>0</sub> [mm]	d <sub>0</sub> [mm]	d <sub>0</sub> [mm]	HIT-RB	HIT-SZ
M8	-	φ8	-	10	-	-	-	10	-
M10	-	φ8 / φ10	-	12	12 <sup>1)</sup>	-	-	12	12
M12	M8	φ10 / φ12	-	14	14 <sup>1)</sup>	-	-	14	14
-	-	φ12	M12	16	16	-	-	16	16
M16	M10	φ14	-	18	18	18	18	18	18
-	-	φ16	M16	20	20	20	20	20	20
M20	M12	-	-	22	22	22	22	22	22
-	-	φ20	M20	25	25	25	25	25	25
M24	M16	-	-	28	28	28	28	28	28
M27	-	-	-	30	-	-	-	30	30
-	M20	φ25 / φ26	M24	32	32	32	32	32	32
M30	-	φ28	M27	35	35	35	35	35	35
-	-	φ30	-	37	-	-	-	37	37
-	-	φ32	-	40	-	-	-	40	40

<sup>1)</sup> Nur in Kombination mit einem Hilti Staubsauger verwenden, der eine Ansaugmenge ≥ 61 l/s besitzt (VC 20/40 –Y nur im Netzbetrieb).

### Reinigungsalternativen

#### Handreinigung (MC):

Zum Ausblasen von Bohrlöchern bis zu einem Durchmesser von d<sub>0</sub> ≤ 20 mm und einer Bohrlochtiefe von h<sub>0</sub> ≤ 10 · d wird die Hilti-Handausblaspumpe empfohlen.



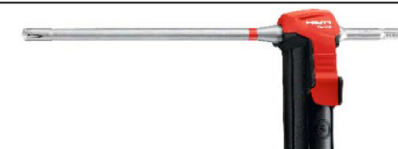
#### Druckluftreinigung (CAC):

Zum Ausblasen mit Druckluft wird die Verwendung einer Ausblasdüse mit einem Durchmesser von mindestens 3,5 mm empfohlen.



#### Automatische Reinigung (AC):

Die Reinigung wird während dem Bohren mit dem Hilti TE-CD und TE-YD Bohrsystem inklusive Staubsauger durchgeführt.



**Injektionssystem Hilti HIT-HY 200-R V3**

#### Verwendungszweck

Angaben zu Bohr- und Reinigungswerkzeugen  
Reinigungsalternativen

**Anhang B8**

**Tabelle B9: Angaben zum Hilti Aufrauwerkzeug TE-YRT**

Zugehörige Komponenten			
Diamantbohren		Aufrauwerkzeug TE-YRT	Abnutzungslehre RTG...
			
d <sub>0</sub> [mm]		d <sub>0</sub> [mm]	Größe
Nominal	Gemessen		
18	17,9 bis 18,2	18	18
20	19,9 bis 20,2	20	20
22	21,9 bis 22,2	22	22
25	24,9 bis 25,2	25	25
28	27,9 bis 28,2	28	28
30	29,9 bis 30,2	30	30
32	31,9 bis 32,2	32	32
35	34,9 bis 35,2	35	35

**Tabelle B10: Angaben zur Aufrau- und Ausblaszeit**

	Aufrauzeit t <sub>roughen</sub>	Minimale Ausblaszeit t <sub>blowing</sub>
h <sub>ef</sub> [mm]	t <sub>roughen</sub> [sec] = h <sub>ef</sub> [mm] / 10	t <sub>blowing</sub> [sec] = t <sub>roughen</sub> [sec] + 20
0 bis 100	10	30
101 bis 200	20	40
201 bis 300	30	50
301 bis 400	40	60
401 bis 500	50	70
501 bis 600	60	80

**Hilti Aufrauwerkzeug TE-YRT und Abnutzungslehre RTG**



Injektionssystem Hilti HIT-HY 200-R V3

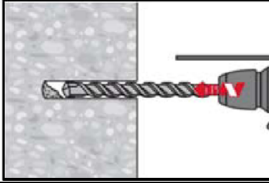
**Verwendungszweck**  
Angaben zum Hilti Aufrauwerkzeug TE-YRT

**Anhang B9**

## Montageanweisung

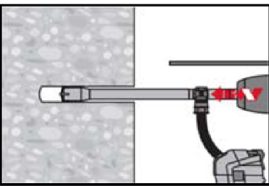
### Bohrlocherstellung

#### a) Hammerbohren



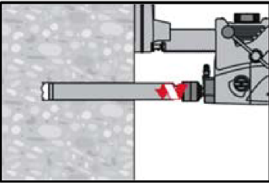
Bohrloch mit Bohrerhammer drehschlagend, unter Verwendung des passenden Bohrerdurchmessers auf die richtige Bohrtiefe erstellen.

#### b) Hammerbohren mit Hilti Hohlbohrer

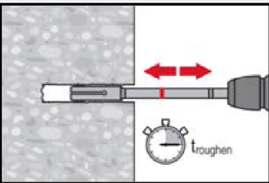


Die Bohrlocherstellung bis zur erforderlichen Setztiefe erfolgt drehschlagend mit einem Hilti Hohlbohrer TE-CD oder TE-YD in Kombination mit einem Hilti Staubsauger VC 20/40 (-Y) (Saugvolumen  $\geq 57$  l/s) bei dem die automatische Filterreinigung aktiviert ist. Dieses Bohrsystem beseitigt bei Anwendung gemäß der Gebrauchsanweisung des Hohlbohrers das Bohrmehl und reinigt das Bohrloch während des Bohrvorgangs. Bei Verwendung von TE-CD Größe 12 oder 14 siehe Tabelle B8. Nach Beendigung des Bohrens kann mit der Mörtelverfüllung gemäß Montageanweisung begonnen werden.

#### c) Diamantbohren mit nachfolgendem Aufrauen mit Hilti Aufrauwerkzeug TE-YRT:



Diamantbohren ist zulässig, wenn geeignete Diamantbohrmaschinen und zugehörige Bohrkronen verwendet werden.  
Kennwerte zur Verwendung in Kombination mit dem Hilti Aufrauwerkzeug TE-YRT siehe Tabelle B10.



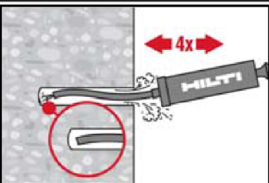
Vor dem Aufrauen muss das Wasser aus dem Bohrloch entfernt werden.  
Verwendbarkeit des Aufrauwerkzeugs mit der Abnutzungslehre RTG prüfen.  
Das Bohrloch über die gesamte Bohrtiefe bis zur geforderten Verankerungstiefe  $h_{ef}$  aufrauen.

### Bohrlochreinigung

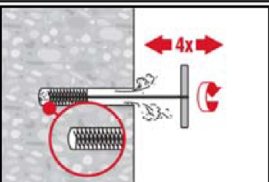
Unmittelbar vor dem Setzen des Befestigungselements muss das Bohrloch frei von Bohrmehl und Verunreinigungen sein.  
Schlechte Bohrlochreinigung = geringe Traglasten.

### Handreinigung (MC)

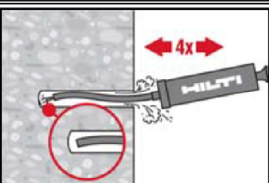
Ungerissener Beton. Bohrlochdurchmesser  $d_0 \leq 20$  mm und Bohrlochtiefen  $h_0 \leq 10 \cdot d$ .



Für Bohrlochdurchmesser  $d_0 \leq 20$  mm und Bohrlochtiefen  $h_0 \leq 10 \cdot d$ .  
Das Bohrloch mindestens 4-mal mit der Hilti Ausblaspumpe vom Bohrlochgrund ausblasen, bis die rückströmende Luft staubfrei ist.



4-mal mit Stahlbürste in passender Größe (siehe Tabelle B8) bürsten. Stahlbürste Hilti HIT-RB mit einer Drehbewegung in das Bohrloch bis zum Bohrlochgrund einführen und wieder herausziehen (falls notwendig mit Verlängerung). Die Bürste muss beim Einführen einen Widerstand erzeugen (Bürsten  $\varnothing \geq$  Bohrloch  $\varnothing$ ) - falls nicht, ist die Bürste zu klein und muss durch eine größere Bürste ersetzt werden.



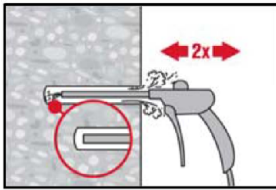
Bohrloch erneut mit der Hilti Handausblaspumpe vom Bohrlochgrund mindestens 4-mal ausblasen, bis die rückströmende Luft staubfrei ist.

### Injektionssystem Hilti HIT-HY 200-R V3

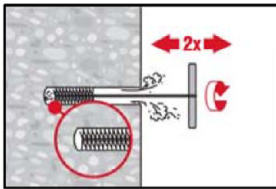
Verwendungszweck  
Montageanweisung

Anhang B10

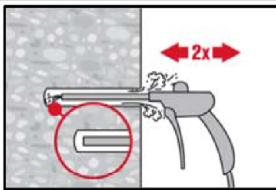
**Druckluftreinigung (CAC) für alle Bohrlochdurchmesser  $d_0$  und Bohrlochtiefen  $h_0$ .**



Bohrloch 2-mal vom Bohrlochgrund über die gesamte Länge mit ölfreier Druckluft (min. 6 bar bei 6 m<sup>3</sup>/h; falls notwendig mit Verlängerung) ausblasen, bis die rückströmende Luft staubfrei ist. Für Bohrlochdurchmesser  $\geq 32$  mm muss der Kompressor mindestens 140 m<sup>3</sup>/h Luftstrom haben.

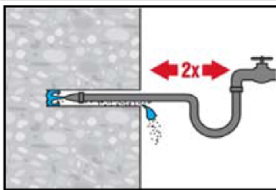


2-mal mit Stahlbürste in passender Größe (siehe Tabelle B8) bürsten. Stahlbürste Hilti HIT-RB mit einer Drehbewegung in das Bohrloch bis zum Bohrlochgrund einführen und wieder herausziehen (falls notwendig mit Verlängerung). Die Bürste muss beim Einführen einen Widerstand erzeugen (Bürsten  $\varnothing \geq$  Bohrloch  $\varnothing$ ) - falls nicht, ist die Bürste zu klein und muss durch eine größere Bürste ersetzt werden.

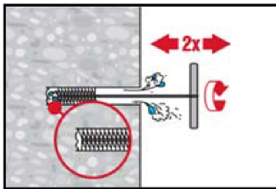


Bohrloch erneut vom Bohrlochgrund über die gesamte Länge 2-mal mit Druckluft ausblasen, bis die rückströmende Luft staubfrei ist.

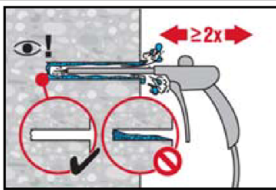
**Reinigen von diamantgebohrten Löchern, die mit dem Hilti Aufrauwerkzeug TE-YRT aufgeraut wurden.**



Das Bohrloch 2 mal mittels Wasser mit einem Schlauch vom Bohrlochgrund spülen, bis klares Wasser aus dem Bohrloch austritt. Normaler Wasserleitungsdruck genügt.



2-mal mit Stahlbürste in passender Größe (siehe Tabelle B8) bürsten. Stahlbürste Hilti HIT-RB mit einer Drehbewegung in das Bohrloch bis zum Bohrlochgrund einführen und wieder herausziehen (falls notwendig mit Verlängerung). Die Bürste muss beim Einführen einen Widerstand erzeugen (Bürsten  $\varnothing \geq$  Bohrloch  $\varnothing$ ) - falls nicht, ist die Bürste zu klein und muss durch eine größere Bürste ersetzt werden.



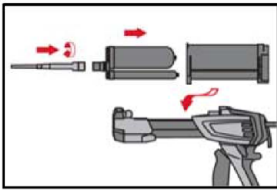
Bohrloch 2-mal vom Bohrlochgrund über die gesamte Länge mit ölfreier Druckluft (min. 6 bar bei 6 m<sup>3</sup>/h; falls notwendig mit Verlängerung) ausblasen, bis die rückströmende Luft staubfrei und das Bohrloch trocken ist. Vor dem Verfüllen mit Mörtel das Wasser vollständig aus dem Bohrloch entfernen bis das Bohrloch vollständig trocken ist. Für Bohrlochdurchmesser  $\geq 32$  mm muss der Kompressor mindestens 140 m<sup>3</sup>/h Luftstrom haben.

Injektionssystem Hilti HIT-HY 200-R V3

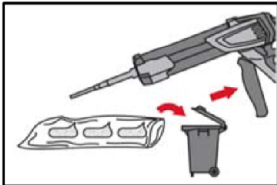
Verwendungszweck  
Montageanweisung

Anhang B11

### Injektionsvorbereitung

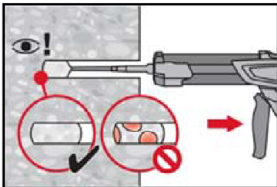


Hilti Statikmischer HIT-RE-M fest auf Foliengebilde aufschrauben. Den Mischer unter keinen Umständen verändern.  
Befolgen Sie die Bedienungsanleitung des Auspressgerätes.  
Prüfen der Kassette und des Foliengebundes auf einwandfreie Funktion. Foliengebilde in die Kassette einführen und Kassette in Auspressgerät einsetzen.

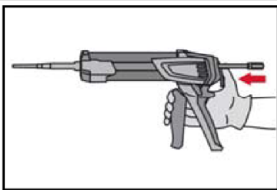


Das Öffnen der Foliengebilde erfolgt automatisch bei Auspressbeginn. Der am Anfang aus dem Mischer austretende Mörtelvorlauf darf nicht für Befestigungen verwendet werden. Die Menge des Mörtelvorlaufes ist abhängig von der Gebindegröße:  
2 Hübe für 330 ml Foliengebilde,  
3 Hübe für 500 ml Foliengebilde,  
4 Hübe für 500 ml Foliengebilde  $\leq 5 \text{ }^\circ\text{C}$ .

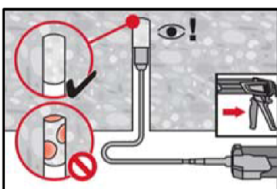
### Injektion des Mörtels vom Bohrlochgrund ohne Luftblasen zu bilden.



Injizieren des Mörtels vom Bohrlochgrund und während jedem Hub den Mischer langsam etwas herausziehen.  
Das Bohrloch zu ca. 2/3 verfüllen. Nach dem Einsetzen des Befestigungselementes muss der Ringspalt vollständig mit Mörtel ausgefüllt sein.  
In nassem Beton muss das Befestigungselement direkt nach dem Reinigen gesetzt werden.



Nach der Mörtelinjektion die Entriegelungstaste am Auspressgerät betätigen, um Mörtelnachlauf zu vermeiden.



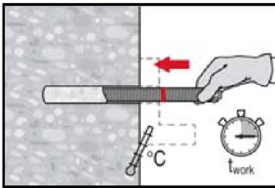
Überkopfanwendung und/oder Montage bei Verankerungstiefen von  $h_{ef} > 250\text{mm}$ . Das Injizieren des Mörtels bei Überkopfanwendung ist nur mit Hilfe von Stauzapfen und Verlängerungen möglich.  
HIT-RE-M Mischer, Mischerverlängerung und entsprechenden Stauzapfen Hilti HIT-SZ (siehe Tabelle B8) zusammenfügen. Den Stauzapfen bis zum Bohrlochgrund einführen und Mörtel injizieren. Während der Injektion wird der Stauzapfen über den Staudruck vom Bohrlochgrund automatisch nach außen geschoben.

Injektionssystem Hilti HIT-HY 200-R V3

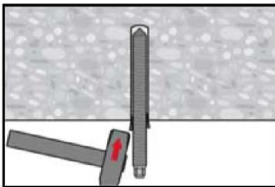
Verwendungszweck  
Montageanweisung

Anhang B12

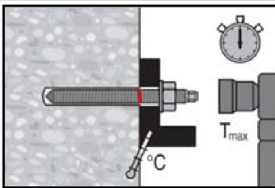
### Setzen des Befestigungselementes



Vor der Montage sicherstellen, dass das Element trocken und frei von Öl und anderen Verunreinigungen ist.  
Befestigungselement markieren und bis zur gewünschten Verankerungstiefe einführen, noch bevor die Verarbeitungszeit  $t_{work}$  (siehe Tabelle B7) abgelaufen ist.

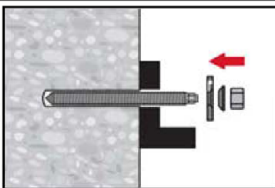


Bei Überkopfanwendung das Element in seiner endgültigen Position z.B. mittels Keilen (Hilti HIT-OHW), gegen Herausrutschen sichern.

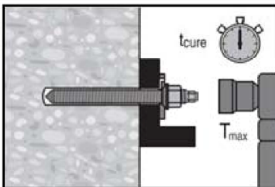


Last bzw. Drehmoment aufbringen: Nach Ablauf der Aushärtezeit  $t_{cure}$  (siehe Tabelle B7) kann der Anker belastet werden.  
Das aufzubringende Drehmoment darf die angegebenen Werte  $T_{max}$  nach Tabelle B2 bis Tabelle B5 nicht überschreiten.

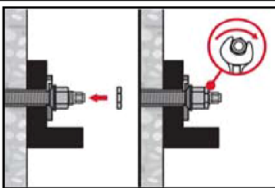
### Einbau des Hilti Verfüll-Sets



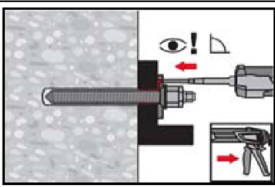
Verwendung des Hilti Verfüll-Sets mit Standardmutter. Korrekte Orientierung der Verschlusscheibe und der Kugelscheibe beachten.



Das aufzubringende Drehmoment darf die angegebenen Werte  $T_{max}$  nach Tabelle B2 bis Tabelle B5 nicht überschreiten.



Optional:  
Sicherungsmutter aufdrehen und mit einer 1/4 bis 1/2 Umdrehung anziehen. (Nicht für Größe M24.)



Ringspalt zwischen Ankerstange und Anbauteil mit einem Hilti HIT-HY ... oder HIT-RE... Injektionsmörtel mit 1 bis 3 Hüben verfüllen.  
Befolgen Sie die Bedienungsanleitung, des entsprechenden Mörtels, die dem Foliengebinde beigelegt ist  
Nach Ablauf der erforderlichen Aushärtezeit  $t_{cure}$  kann der Anker belastet werden.

Injektionssystem Hilti HIT-HY 200-R V3

Verwendungszweck  
Montageanweisung

Anhang B13

**Tabelle C1: Wesentliche Merkmale für Gewindestangen, HAS-U-..., HIT-V-... und AM 8.8 unter Zugbeanspruchung in Beton**

Gewindestange, HAS-U-..., HIT-V-... und AM 8.8			M8	M10	M12	M16	M20	M24	M27	M30	
<b>Montagesicherheitsbeiwert</b>											
Hammerbohren	$\gamma_{inst}$	[-]	1,0								
Hammerbohren mit Hilti Hohlbohrer TE-CD oder TE-YD	$\gamma_{inst}$	[-]	1)	1,0							
Diamantbohren mit aufrauen mit Hilti Aufrauwerkzeug TE-YRT	$\gamma_{inst}$	[-]	1)				1,0				
<b>Stahlversagen</b>											
Charakteristischer Widerstand	$N_{Rk,s}$	[kN]	$A_s \cdot f_{uk}$								
Teilsicherheitsbeiwert Festigkeitsklasse 5.8	$\gamma_{Ms,N^{2)}$	[-]	1,5								
Teilsicherheitsbeiwert Festigkeitsklasse 8.8	$\gamma_{Ms,N^{2)}$	[-]	1,5								
Teilsicherheitsbeiwert HAS-U A4, HIT-V-R	$\gamma_{Ms,N^{2)}$	[-]	1,86						2,86		
Teilsicherheitsbeiwert HAS-U HCR, HIT-V-HCR	$\gamma_{Ms,N^{2)}$	[-]	1,5				2,1				
<b>Kombiniertes Versagen durch Herausziehen und Betonausbruch</b>											
Charakteristische Verbundtragfähigkeit im ungerissenen Beton C20/25											
Temperaturbereich I: 40 °C / 24 °C	$\tau_{RK,ucr}$	[N/mm <sup>2</sup> ]	18								
Temperaturbereich II: 80 °C / 50 °C	$\tau_{RK,ucr}$	[N/mm <sup>2</sup> ]	15								
Temperaturbereich III: 120 °C / 72 °C	$\tau_{RK,ucr}$	[N/mm <sup>2</sup> ]	13								
Charakteristische Verbundtragfähigkeit im gerissenen Beton C20/25											
Temperaturbereich I: 40 °C / 24 °C	$\tau_{RK,cr}$	[N/mm <sup>2</sup> ]	7,5	8,5				9,0			
Temperaturbereich II: 80 °C / 50 °C	$\tau_{RK,cr}$	[N/mm <sup>2</sup> ]	6,0	7,0				7,5			
Temperaturbereich III: 120 °C / 72 °C	$\tau_{RK,cr}$	[N/mm <sup>2</sup> ]	5,5	6,0				6,5			
<b>Einflussfaktoren <math>\psi</math> auf Verbundtragfähigkeit <math>\tau_{RK}</math></b>											
Gerissener und ungerissener Beton: Einflussfaktor Betonfestigkeit	$\psi_c$	C30/37	1,04								
		C40/45	1,07								
		C50/60	1,1								
Gerissener und ungerissener Beton: Einflussfaktor Dauerlast	$\psi_{sus}^0$	40 °C/24 °C	0,74								
		80 °C/50 °C	0,89								
		120 °C/72 °C	0,72								

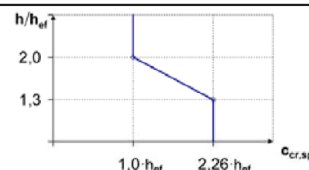
Injektionssystem Hilti HIT-HY 200-R V3

**Leistungsfähigkeit**  
Wesentliche Merkmale unter Zugbeanspruchung in Beton

**Anhang C1**

**Tabelle C1: fortgesetzt**

<b>Betonausbruch</b>			
Faktor für ungerissenen Beton	$k_{uor,N}$	[-]	11,0
Faktor für gerissenen Beton	$k_{cr,N}$	[-]	7,7
Randabstand	$c_{cr,N}$	[mm]	$1,5 \cdot h_{ef}$
Achsabstand	$s_{cr,N}$	[mm]	$3,0 \cdot h_{ef}$
<b>Versagen durch Spalten</b>			
Randabstand $c_{cr,sp}$ [mm] für	$h / h_{ef} \geq 2,0$		$1,0 \cdot h_{ef}$
	$2,0 > h / h_{ef} > 1,3$		$4,6 \cdot h_{ef} - 1,8 \cdot h$
	$h / h_{ef} \leq 1,3$		$2,26 \cdot h_{ef}$
Achsabstand	$s_{cr,sp}$	[mm]	$2 \cdot c_{cr,sp}$



- 1) Leistung nicht bewertet.  
2) Sofern nationale Regelungen fehlen.

**Tabelle C2: Wesentliche Merkmale für Gewindestangen, HAS-U-..., HIT-V-... und AM 8.8 unter Querbeanspruchung in Beton**

<b>Gewindestange, HAS-U-..., HIT-V-..., AM 8.8</b>		M8	M10	M12	M16	M20	M24	M27	M30	
<b>Stahlversagen ohne Hebelarm</b>										
Charakteristischer Widerstand	$V_{Rk,s}$	[kN]	$0,5 \cdot A_s \cdot f_{uk}$							
Teilsicherheitsbeiwert Festigkeitsklasse 5.8	$\gamma_{Ms,V}^{1)}$	[-]	1,25							
Teilsicherheitsbeiwert Festigkeitsklasse 8.8	$\gamma_{Ms,V}^{1)}$	[-]	1,25							
Teilsicherheitsbeiwert HAS-U A4, HIT-V-R	$\gamma_{Ms,V}^{1)}$	[-]	1,56					2,38		
Teilsicherheitsbeiwert HAS-U HCR, HIT-V-HCR	$\gamma_{Ms,V}^{1)}$	[-]	1,25				1,75			
Duktilitätsfaktor	$k_7$	[-]	1,0							
<b>Stahlversagen mit Hebelarm</b>										
Biegemoment	$M^0_{Rk,s}$	[Nm]	$1,2 \cdot W_{el} \cdot f_{uk}$							
Duktilitätsfaktor	$k_7$	[-]	1,0							
<b>Betonausbruch auf der lastabgewandten Seite</b>										
Faktor	$k_8$	[-]	2,0							
<b>Betonkantenbruch</b>										
Wirksame Länge des Befestigungselements	$l_f$	[mm]	$\min(h_{ef}, 12 \cdot d_{nom})$						$\min(h_{ef}, 300)$	
Außendurchmesser des Befestigungselements	$d_{nom}$	[mm]	8	10	12	16	20	24	27	30

- 1) Sofern nationale Regelungen fehlen.

**Injektionssystem Hilti HIT-HY 200-R V3**

**Leistungsfähigkeit**  
Wesentliche Merkmale unter Zug- und Querbeanspruchung in Beton

**Anhang C2**

**Tabelle C3: Wesentliche Merkmale für Innengewindehülse HIS-(R)N unter Zugbeanspruchung in Beton**

HIS-(R)N			M8	M10	M12	M16	M20
<b>Montagesicherheitsbeiwert</b>							
Hammerbohren	$\gamma_{inst}$	[-]	1,0				
Hammerbohren mit Hilti Hohlbohrer TE-CD oder TE-YD	$\gamma_{inst}$	[-]	1,0				
Diamantbohren mit aufrauen mit Hilti Aufrauwerkzeug TE-YRT	$\gamma_{inst}$	[-]	1)	1,0			
<b>Stahlversagen</b>							
Charakteristischer Widerstand HIS-N mit Schraube oder Gewindestange Festigkeitsklasse 8.8	$N_{Rk,s}$	[kN]	25	46	67	125	116
Teilsicherheitsbeiwert	$\gamma_{Ms,N^2)}$	[-]	1,50				
Charakteristischer Widerstand HIS-RN mit Schraube oder Gewindestange Festigkeitsklasse 70	$N_{Rk,s}$	[kN]	26	41	59	110	166
Teilsicherheitsbeiwert	$\gamma_{Ms,N^2)}$	[-]	1,87				2,4
<b>Kombiniertes Versagen durch Herausziehen und Betonausbruch</b>							
Wirksame Verankerungstiefe	$h_{ef}$	[mm]	90	110	125	170	205
Durchmesser des Befestigungselements	$d_1$	[mm]	12,5	16,5	20,5	25,4	27,6
Charakteristische Verbundtragfähigkeit im ungerissenen Beton C20/25							
Temperaturbereich I: 40 °C/24 °C	$\tau_{Rk,ucr}$	[N/mm <sup>2</sup> ]	13				
Temperaturbereich II: 80 °C/50 °C	$\tau_{Rk,ucr}$	[N/mm <sup>2</sup> ]	11				
Temperaturbereich III: 120 °C/72 °C	$\tau_{Rk,ucr}$	[N/mm <sup>2</sup> ]	9,5				
Charakteristische Verbundtragfähigkeit im gerissenen Beton C20/25							
Temperaturbereich I: 40 °C/24 °C	$\tau_{Rk,cr}$	[N/mm <sup>2</sup> ]	7				
Temperaturbereich II: 80 °C/50 °C	$\tau_{Rk,cr}$	[N/mm <sup>2</sup> ]	5,5				
Temperaturbereich III: 120 °C/72 °C	$\tau_{Rk,cr}$	[N/mm <sup>2</sup> ]	5				
<b>Einflussfaktoren <math>\psi</math> auf Verbundtragfähigkeit <math>\tau_{Rk}</math></b>							
Gerissener und ungerissener Beton: Einflussfaktor Betonfestigkeit	$\psi_c$	C30/37	1,04				
		C40/45	1,07				
		C50/60	1,1				
Gerissener und ungerissener Beton: Einflussfaktor Dauerlast	$\psi^0_{sus}$	40 °C/24 °C	0,74				
		80 °C/50 °C	0,89				
		120 °C/72 °C	0,72				

Injektionssystem Hilti HIT-HY 200-R V3

**Leistungsfähigkeit**  
Wesentliche Merkmale unter Zugbeanspruchung in Beton

**Anhang C3**

**Tabelle C3: fortgesetzt**

<b>Betonausbruch</b>			
Faktor für ungerissenen Beton	$k_{uor,N}$	[-]	11,0
Faktor für gerissenen Beton	$k_{cr,N}$	[-]	7,7
Randabstand	$c_{cr,N}$	[mm]	$1,5 \cdot h_{ef}$
Achsabstand	$s_{cr,N}$	[mm]	$3,0 \cdot h_{ef}$
<b>Versagen durch Spalten</b>			
Randabstand $c_{cr,sp}$ [mm] für	$h / h_{ef} \geq 2,0$		$1,0 \cdot h_{ef}$
	$2,0 > h / h_{ef} > 1,3$		$4,6 h_{ef} - 1,8 h$
	$h / h_{ef} \leq 1,3$		$2,26 h_{ef}$
Achsabstand	$s_{cr,sp}$	[mm]	$2 \cdot c_{cr,sp}$

- 1) Leistung nicht bewertet.  
2) Sofern nationale Regelungen fehlen.

**Tabelle C4: Wesentliche Merkmale für Innengewindehülse HIS-(R)N unter Querbeanspruchung in Beton**

<b>HIS-(R)N</b>		<b>M8</b>	<b>M10</b>	<b>M12</b>	<b>M16</b>	<b>M20</b>
<b>Stahlversagen ohne Hebelarm</b>						
Charakteristischer Widerstand HIS-N mit Schraube oder Gewindestange grade 8.8	$V_{Rk,s}$ [kN]	13	23	34	63	58
Teilsicherheitsbeiwert	$\gamma_{Ms,V}^{1)}$ [-]	1,25				
Charakteristischer Widerstand HIS-RN mit Schraube oder Gewindestange Festigkeitsklasse 70	$V_{Rk,s}$ [kN]	13	20	30	55	83
Teilsicherheitsbeiwert	$\gamma_{Ms,V}^{1)}$ [-]	1,56				2,0
Duktilitätsfaktor	$k_7$ [-]	1,0				
<b>Stahlversagen mit Hebelarm</b>						
HIS-N mit Schraube der Festigkeitsklasse oder Gewindestange 8.8	$M^0_{Rk,s}$ [Nm]	30	60	105	266	519
HIS-RN mit Schraube der Festigkeitsklasse oder Gewindestange 70	$M^0_{Rk,s}$ [Nm]	26	52	92	233	454
Duktilitätsfaktor	$k_7$ [-]	1,0				
<b>Betonausbruch auf der lastabgewandten Seite</b>						
Faktor	$k_8$ [-]	2,0				
<b>Betonkantenbruch</b>						
Wirksame Länge des Befestigungselements	$l_f$ [mm]	90	110	125	170	205
Außendurchmesser des Befestigungselements	$d_{nom}$ [mm]	12,5	16,5	20,5	25,4	27,6

- 1) Sofern nationale Regelungen fehlen.

**Injektionssystem Hilti HIT-HY 200-R V3**

**Leistungsfähigkeit**  
Wesentliche Merkmale unter Zug- und Querbeanspruchung in Beton

**Anhang C4**

**Tabelle C5: Wesentliche Merkmale für Hilti Zuganker HZA / HZA-R unter Zugbeanspruchung in Beton**

Hilti Zuganker HZA, HZA-R			M12	M16	M20	M24	M27
<b>Montagesicherheitsbeiwert</b>							
Hammerbohren	$\gamma_{inst}$	[-]	1,0				
Hammerbohren mit Hilti Hohlbohrer TE-CD oder TE-YD	$\gamma_{inst}$	[-]	1,0				
Diamantbohren mit aufrauen mit Hilti Aufrauwerkzeug TE-YRT	$\gamma_{inst}$	[-]	1)	1,0			
<b>Stahlversagen</b>							
Charakteristischer Widerstand HZA	$N_{Rk,s}$	[kN]	46	86	135	194	253
Charakteristischer Widerstand HZA-R	$N_{Rk,s}$	[kN]	62	111	173	248	-
Teilsicherheitsbeiwert	$\gamma_{Ms}^{2)}$	[-]	1,4				
<b>Kombiniertes Versagen durch Herausziehen und Betonausbruch</b>							
Durchmesser des Betonstahl	d	[mm]	12	16	20	25	28
Charakteristische Verbundtragfähigkeit im ungerissenen Beton C20/25							
Effektive Verankerungstiefe	HZA	$h_{ef}$	[mm]	$h_{nom} - 20$			
	HZA-R	$h_{ef}$	[mm]	$h_{nom} - 100$			-
Temperaturbereich I:	40 °C/24 °C	$\tau_{Rk,ucr}$	[N/mm <sup>2</sup> ]	12			
Temperaturbereich II:	80 °C/50 °C	$\tau_{Rk,ucr}$	[N/mm <sup>2</sup> ]	10			
Temperaturbereich III:	120 °C/72 °C	$\tau_{Rk,ucr}$	[N/mm <sup>2</sup> ]	8,5			
Charakteristische Verbundtragfähigkeit im gerissenen Beton C20/25							
Temperaturbereich I:	40 °C/24 °C	$\tau_{Rk,cr}$	[N/mm <sup>2</sup> ]	7			
Temperaturbereich II:	80 °C/50 °C	$\tau_{Rk,cr}$	[N/mm <sup>2</sup> ]	5,5			
Temperaturbereich III:	120 °C/72 °C	$\tau_{Rk,cr}$	[N/mm <sup>2</sup> ]	5			
<b>Einflussfaktoren <math>\psi</math> auf Verbundtragfähigkeit <math>\tau_{Rk}</math></b>							
Gerissener und ungerissener Beton: Einflussfaktor Betonfestigkeit	$\psi_c$	C30/37		1,04			
		C40/45		1,07			
		C50/60		1,1			
Gerissener und ungerissener Beton: Einflussfaktor Dauerlast	$\psi^{0}_{sus}$	40 °C/24 °C		0,74			
		80 °C/50 °C		0,89			
		120 °C/72 °C		0,72			

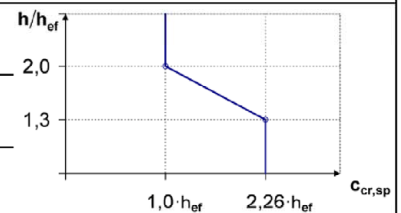
Injektionssystem Hilti HIT-HY 200-R V3

**Leistungsfähigkeit**  
Wesentliche Merkmale unter Zugbeanspruchung in Beton

**Anhang C5**

**Tabelle C5: fortgesetzt**

<b>Betonausbruch</b>				
Effektive Verankerungstiefe	HZA	$h_{ef}$	[mm]	$h_{nom}$
	HZA-R	$h_{ef}$	[mm]	$h_{nom}$ -
Faktor für ungerissenen Beton	$k_{ucr}$		[-]	11,0
Faktor für gerissenen Beton	$k_{cr}$		[-]	7,7
Randabstand	$c_{cr,N}$		[mm]	$1,5 \cdot h_{ef}$
Achsabstand	$s_{cr,N}$		[mm]	$3,0 \cdot h_{ef}$
<b>Versagen durch Spalten für ungerissenen Beton</b>				
Randabstand $c_{cr,sp}$ [mm] für	$h / h_{ef} \geq 2,0$			$1,0 \cdot h_{ef}$
	$2,0 > h / h_{ef} > 1,3$			$4,6 \cdot h_{ef} - 1,8 \cdot h$
	$h / h_{ef} \leq 1,3$			$2,26 \cdot h_{ef}$
Achsabstand	$s_{cr,sp}$		[mm]	$2 \cdot c_{cr,sp}$



- 1) Leistung nicht bewertet.  
2) Sofern nationale Regelungen fehlen.

**Tabelle C6: Wesentliche Merkmale für Hilti Zuganker HZA, HZA-R unter Querbeanspruchung in Beton**

Hilti Zuganker HZA, HZA-R			M12	M16	M20	M24	M27	
<b>Stahlversagen ohne Hebelarm</b>								
Charakteristischer Widerstand HZA	$V_{Rk,s}$	[kN]	23	43	67	97	126	
Charakteristischer Widerstand HZA-R	$V_{Rk,s}$	[kN]	31	55	86	124	-	
Teilsicherheitsbeiwert	$\gamma_{Ms}^{1)}$	[-]	1,5					
Duktilitätsfaktor	$k_7$	[-]	1,0					
<b>Stahlversagen mit Hebelarm</b>								
HZA	$M^0_{Rk,s}$	[Nm]	72	183	357	617	915	
HZA-R	$M^0_{Rk,s}$	[Nm]	97	234	457	790	-	
Duktilitätsfaktor	$k_7$	[-]	1,0					
<b>Betonausbruch auf der lastabgewandten Seite</b>								
Faktor	$k_8$	[-]	2,0					
<b>Betonkantenbruch</b>								
Wirksame Länge des Befestigungselements	$l_f$	[mm]	$\min(h_{nom}; 12 \cdot d_{nom})$				$\min(h_{nom} 300)$	
Außendurchmesser des Befestigungselements	$d_{nom}$	[mm]	12	16	20	24	27	

- 1) Sofern nationale Regelungen fehlen.

**Injektionssystem Hilti HIT-HY 200-R V3**

**Leistungsfähigkeit**  
Wesentliche Merkmale unter Zug- und Querbeanspruchung in Beton

**Anhang C6**

**Tabelle C7: Wesentliche Merkmale für Betonstahl unter Zugbeanspruchung in Beton**

Betonstahl		φ 8	φ 10	φ 12	φ 14	φ 16	φ 20	φ 25	φ 26	φ 28	φ 30	φ 32		
<b>Montagesicherheitsbeiwert</b>														
Hammerbohren	$\gamma_{inst}$	[-]		1,0										
Hammerbohren mit Hilti Hohlbohrer TE-CD oder TE-YD	$\gamma_{inst}$	[-]		1,0										
Diamantbohren mit aufrauen mit Hilti Aufrauwerkzeug TE-YRT	$\gamma_{inst}$	[-]		1)		1,0								
<b>Stahlversagen</b>														
Charakteristischer Widerstand Betonstahl B500B nach DIN 488:2009-08	$N_{Rk,s}$	[kN]	28	43	62	85	111	173	270	292	339	388	442	
Teilsicherheitsbeiwert	$\gamma_{Ms,N^2}$	[-]		1,4										
<b>Kombiniertes Versagen durch Herausziehen und Betonausbruch</b>														
Durchmesser des Betonstahl	d	[mm]		8	10	12	14	16	20	25	26	28	30	32
Charakteristische Verbundtragfähigkeit im ungerissenen Beton C20/25														
Temperaturbereich I: 40°C/24°C	$\tau_{Rk,ucr}$	[N/mm <sup>2</sup> ]		12										
Temperaturbereich II: 80°C/50°C	$\tau_{Rk,ucr}$	[N/mm <sup>2</sup> ]		10										
Temperaturbereich III: 120°C/72°C	$\tau_{Rk,ucr}$	[N/mm <sup>2</sup> ]		8,5										
Charakteristische Verbundtragfähigkeit im gerissenen Beton C20/25														
Temperaturbereich I: 40°C/24°C	$\tau_{Rk,cr}$	[N/mm <sup>2</sup> ]		1)	5	7								
Temperaturbereich II: 80°C/50°C	$\tau_{Rk,cr}$	[N/mm <sup>2</sup> ]		1)	4	5,5								
Temperaturbereich III: 120°C/72°C	$\tau_{Rk,cr}$	[N/mm <sup>2</sup> ]		1)	3,5	5								
<b>Einflussfaktoren <math>\psi</math> auf Verbundtragfähigkeit <math>\tau_{Rk}</math></b>														
Gerissener und ungerissener Beton: Einflussfaktor Betonfestigkeit	$\psi_c$	C30/37	1,04											
		C40/45	1,07											
		C50/60	1,1											
Gerissener und ungerissener Beton: Einflussfaktor Dauerlast	$\psi_{sus}^0$	40 °C/24 °C	0,74											
		80 °C/50 °C	0,89											
		120 °C/72 °C	0,72											

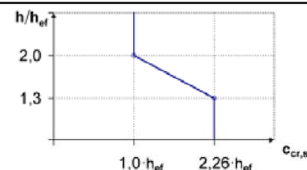
Injektionssystem Hilti HIT-HY 200-R V3

**Leistungsfähigkeit**  
Wesentliche Merkmale unter Zugbeanspruchung in Beton

**Anhang C7**

**Tabelle C7: fortgesetzt**

<b>Betonausbruch</b>		
Faktor für ungerissenen Beton	$k_{ucr,N}$ [-]	11,0
Faktor für gerissenen Beton	$k_{cr,N}$ [-]	7,7
Randabstand	$c_{cr,N}$ [mm]	$1,5 \cdot h_{ef}$
Achsabstand	$s_{cr,N}$ [mm]	$3,0 \cdot h_{ef}$
<b>Versagen durch Spalten für ungerissenen Beton</b>		
Randabstand $c_{cr,sp}$ [mm] für	$h / h_{ef} \geq 2,0$	$1,0 \cdot h_{ef}$
	$2,0 > h / h_{ef} > 1,3$	$4,6 \cdot h_{ef} - 1,8 \cdot h$
	$h / h_{ef} \leq 1,3$	$2,26 \cdot h_{ef}$
Achsabstand	$s_{cr,sp}$ [mm]	$2 c_{cr,sp}$



- 1) Leistung nicht bewertet.  
2) Sofern nationale Regelungen fehlen.

**Tabelle C8: Wesentliche Merkmale für Betonstahl unter Querbeanspruchung in Beton**

Betonstahl		$\phi 8$	$\phi 10$	$\phi 12$	$\phi 14$	$\phi 16$	$\phi 20$	$\phi 25$	$\phi 26$	$\phi 28$	$\phi 30$	$\phi 32$
<b>Stahlversagen ohne Hebelarm</b>												
Charakteristischer Widerstand Betonstahl B500B nach DIN 488:2009-08	$V_{Rk,s}$ [kN]	14	22	31	42	55	86	135	146	169	194	221
Teilsicherheitsbeiwert	$\gamma_{Ms,V}$ <sup>1)</sup> [-]	1,5										
Duktilitätsfaktor	$k_7$ [-]	1,0										
<b>Stahlversagen mit Hebelarm</b>												
Betonstahl B500B nach DIN 488:2009-08	$M^o_{Rk,s}$ [Nm]	33	65	112	178	265	518	1012	1139	1422	1749	2123
Duktilitätsfaktor	$k_7$ [-]	1,0										
<b>Betonausbruch auf der lastabgewandten Seite</b>												
Faktor	$k_8$ [-]	2,0										
<b>Betonkantenbruch</b>												
Wirksame Länge des Befestigungselements	$l_f$ [mm]	min ( $h_{ef}$ ; $12 \cdot d_{nom}$ )						min ( $h_{nom}$ ; 300)				
Außendurchmesser des Befestigungselements	$d_{nom}$ [mm]	8	10	12	14	16	20	25	26	28	30	32

- 1) Sofern nationale Regelungen fehlen.

**Injektionssystem Hilti HIT-HY 200-R V3**

**Leistungsfähigkeit**  
Wesentliche Merkmale unter Zug- und Querbeanspruchung in Beton

**Anhang C8**

**Tabelle C9: Verschiebungen unter Zugbeanspruchung**

Gewindestange, HAS-U-..., HIT-V-..., AM 8.8		M8	M10	M12	M16	M20	M24	M27	M30		
Ungerissener Beton Temperaturbereich I : 40°C / 24°C											
Verschiebung	$\delta_{N0}$	[mm/(N/mm <sup>2</sup> )]	0,02	0,03	0,03	0,04	0,06	0,07	0,07	0,08	
	$\delta_{N\infty}$	[mm/(N/mm <sup>2</sup> )]	0,04	0,05	0,06	0,08	0,10	0,13	0,14	0,16	
Ungerissener Beton Temperaturbereich II : 80°C / 50°C											
Verschiebung	$\delta_{N0}$	[mm/(N/mm <sup>2</sup> )]	0,03	0,04	0,05	0,06	0,08	0,09	0,10	0,12	
	$\delta_{N\infty}$	[mm/(N/mm <sup>2</sup> )]	0,04	0,05	0,06	0,09	0,11	0,13	0,15	0,16	
Ungerissener Beton Temperaturbereich III : 120°C / 72°C											
Verschiebung	$\delta_{N0}$	[mm/(N/mm <sup>2</sup> )]	0,04	0,05	0,06	0,08	0,10	0,12	0,13	0,16	
	$\delta_{N\infty}$	[mm/(N/mm <sup>2</sup> )]	0,04	0,05	0,07	0,09	0,11	0,13	0,15	0,17	
Gerissener Beton Temperaturbereich I : 40°C / 24°C											
Verschiebung	$\delta_{N0}$	[mm/(N/mm <sup>2</sup> )]								0,07	
	$\delta_{N\infty}$	[mm/(N/mm <sup>2</sup> )]								0,16	
Gerissener Beton Temperaturbereich II : 80°C / 50°C											
Verschiebung	$\delta_{N0}$	[mm/(N/mm <sup>2</sup> )]								0,10	
	$\delta_{N\infty}$	[mm/(N/mm <sup>2</sup> )]								0,22	
Gerissener Beton Temperaturbereich III : 120°C / 72°C											
Verschiebung	$\delta_{N0}$	[mm/(N/mm <sup>2</sup> )]								0,13	
	$\delta_{N\infty}$	[mm/(N/mm <sup>2</sup> )]								0,29	

**Tabelle C10: Verschiebungen unter Querbeanspruchung**

Gewindestange, HAS-U-..., HIT-V-..., AM 8.8		M8	M10	M12	M16	M20	M24	M27	M30	
Verschiebung	$\delta_{V0}$	[mm/kN]	0,06	0,06	0,05	0,04	0,04	0,03	0,03	0,03
	$\delta_{V\infty}$	[mm/kN]	0,09	0,08	0,08	0,06	0,06	0,05	0,05	0,05

Injektionssystem Hilti HIT-HY 200-R V3

**Leistungsfähigkeit**  
Verschiebungen Gewindestange, HAS-U-..., HIT-V-... und AM 8.8

**Anhang C9**

**Tabelle C11: Verschiebungen unter Zugbeanspruchung**

HIS-(R)N			M8	M10	M12	M16	M20	
Ungerissener Beton Temperaturbereich I : 40°C / 24°C								
Verschiebung	$\delta_{N0}$	[mm/(N/mm <sup>2</sup> )]	0,03	0,05	0,06	0,07	0,08	
	$\delta_{N\infty}$	[mm/(N/mm <sup>2</sup> )]	0,06	0,09	0,11	0,13	0,14	
Ungerissener Beton Temperaturbereich II : 80°C / 50°C								
Verschiebung	$\delta_{N0}$	[mm/(N/mm <sup>2</sup> )]	0,05	0,06	0,08	0,10	0,11	
	$\delta_{N\infty}$	[mm/(N/mm <sup>2</sup> )]	0,07	0,09	0,11	0,13	0,15	
Ungerissener Beton Temperaturbereich III : 120°C / 72°C								
Verschiebung	$\delta_{N0}$	[mm/(N/mm <sup>2</sup> )]	0,06	0,08	0,10	0,13	0,14	
	$\delta_{N\infty}$	[mm/(N/mm <sup>2</sup> )]	0,07	0,09	0,11	0,14	0,15	
Gerissener Beton Temperaturbereich I : 40°C / 24°C								
Verschiebung	$\delta_{N0}$	[mm/(N/mm <sup>2</sup> )]				0,11		
	$\delta_{N\infty}$	[mm/(N/mm <sup>2</sup> )]				0,16		
Gerissener Beton Temperaturbereich II : 80°C / 50°C								
Verschiebung	$\delta_{N0}$	[mm/(N/mm <sup>2</sup> )]				0,15		
	$\delta_{N\infty}$	[mm/(N/mm <sup>2</sup> )]				0,22		
Gerissener Beton Temperaturbereich III : 120°C / 72°C								
Verschiebung	$\delta_{N0}$	[mm/(N/mm <sup>2</sup> )]				0,20		
	$\delta_{N\infty}$	[mm/(N/mm <sup>2</sup> )]				0,29		

**Tabelle C12: Verschiebungen unter Querbeanspruchung**

HIS-(R)N			M8	M10	M12	M16	M20
Verschiebung	$\delta_{V0}$	[mm/kN]	0,06	0,06	0,05	0,04	0,04
	$\delta_{V\infty}$	[mm/kN]	0,09	0,08	0,08	0,06	0,06

Injektionssystem Hilti HIT-HY 200-R V3

Leistungsfähigkeit  
Verschiebungen HIS-(R)N

Anhang C10

**Tabelle C13: Verschiebungen unter Zugbeanspruchung**

Hilti Zuganker HZA, HZA-R		M12	M16	M20	M24	M27
Ungerissener Beton Temperaturbereich I : 40°C / 24°C						
Verschiebung	$\delta_{N0}$ [mm/(N/mm <sup>2</sup> )]	0,03	0,04	0,06	0,07	0,08
	$\delta_{N\infty}$ [mm/(N/mm <sup>2</sup> )]	0,06	0,08	0,13	0,13	0,15
Ungerissener Beton Temperaturbereich II : 80°C / 50°C						
Verschiebung	$\delta_{N0}$ [mm/(N/mm <sup>2</sup> )]	0,05	0,06	0,08	0,10	0,11
	$\delta_{N\infty}$ [mm/(N/mm <sup>2</sup> )]	0,06	0,09	0,14	0,14	0,15
Ungerissener Beton Temperaturbereich III : 120°C / 72°C						
Verschiebung	$\delta_{N0}$ [mm/(N/mm <sup>2</sup> )]	0,06	0,08	0,10	0,12	0,14
	$\delta_{N\infty}$ [mm/(N/mm <sup>2</sup> )]	0,07	0,09	0,14	0,14	0,16
Gerissener Beton Temperaturbereich I : 40°C / 24°C						
Verschiebung	$\delta_{N0}$ [mm/(N/mm <sup>2</sup> )]	0,11				
	$\delta_{N\infty}$ [mm/(N/mm <sup>2</sup> )]	0,16				
Gerissener Beton Temperaturbereich II : 80°C / 50°C						
Verschiebung	$\delta_{N0}$ [mm/(N/mm <sup>2</sup> )]	0,15				
	$\delta_{N\infty}$ [mm/(N/mm <sup>2</sup> )]	0,22				
Gerissener Beton Temperaturbereich III : 120°C / 72°C						
Verschiebung	$\delta_{N0}$ [mm/(N/mm <sup>2</sup> )]	0,20				
	$\delta_{N\infty}$ [mm/(N/mm <sup>2</sup> )]	0,29				

**Tabelle C14: Verschiebungen unter Querbeanspruchung**

Hilti Zuganker HZA, HZA-R		M12	M16	M20	M24	M27
Verschiebung	$\delta_{V0}$ [mm/kN]	0,05	0,04	0,04	0,03	0,03
	$\delta_{V\infty}$ [mm/kN]	0,08	0,06	0,06	0,05	0,05

Injektionssystem Hilti HIT-HY 200-R V3

**Leistungsfähigkeit**  
Verschiebungen HZA und HZA-R

**Anhang C11**

**Tabelle C15: Verschiebungen unter Zugbeanspruchung**

Betonstahl		φ 8	φ 10	φ 12	φ 14	φ 16	φ 20	φ 25	φ 26	φ 28	φ 30	φ 32	
Ungerissener Beton Temperaturbereich I : 40°C / 24°C													
Verschiebung	$\delta_{N0}$ [mm/(N/mm <sup>2</sup> )]	0,02	0,03	0,03	0,04	0,04	0,06	0,07	0,08	0,08	0,09	0,09	
	$\delta_{N\infty}$ [mm/(N/mm <sup>2</sup> )]	0,04	0,05	0,06	0,07	0,08	0,10	0,13	0,14	0,15	0,16	0,17	
Ungerissener Beton Temperaturbereich II : 80°C / 50°C													
Verschiebung	$\delta_{N0}$ [mm/(N/mm <sup>2</sup> )]	0,03	0,04	0,05	0,05	0,06	0,08	0,10	0,11	0,11	0,12	0,12	
	$\delta_{N\infty}$ [mm/(N/mm <sup>2</sup> )]	0,04	0,05	0,06	0,07	0,09	0,11	0,14	0,15	0,15	0,16	0,17	
Ungerissener Beton Temperaturbereich III : 120°C / 72°C													
Verschiebung	$\delta_{N0}$ [mm/(N/mm <sup>2</sup> )]	0,04	0,05	0,06	0,07	0,08	0,10	0,12	0,13	0,14	0,15	0,16	
	$\delta_{N\infty}$ [mm/(N/mm <sup>2</sup> )]	0,04	0,05	0,07	0,08	0,09	0,11	0,14	0,15	0,16	0,17	0,18	
Gerissener Beton Temperaturbereich I : 40°C / 24°C													
Verschiebung	$\delta_{N0}$ [mm/(N/mm <sup>2</sup> )]							0,11					
	$\delta_{N\infty}$ [mm/(N/mm <sup>2</sup> )]							0,16					
Gerissener Beton Temperaturbereich II : 80°C / 50°C													
Verschiebung	$\delta_{N0}$ [mm/(N/mm <sup>2</sup> )]							0,15					
	$\delta_{N\infty}$ [mm/(N/mm <sup>2</sup> )]							0,22					
Gerissener Beton Temperaturbereich III : 120°C / 72°C													
Verschiebung	$\delta_{N0}$ [mm/(N/mm <sup>2</sup> )]							0,20					
	$\delta_{N\infty}$ [mm/(N/mm <sup>2</sup> )]							0,29					

**Tabelle C16: Verschiebungen unter Querbeanspruchung**

Betonstahl		φ 8	φ 10	φ 12	φ 14	φ 16	φ 20	φ 25	φ 26	φ 28	φ 30	φ 32
Verschiebung	$\delta_{V0}$ [mm/kN]	0,06	0,05	0,05	0,04	0,04	0,04	0,03	0,03	0,03	0,03	0,03
	$\delta_{V\infty}$ [mm/kN]	0,09	0,08	0,07	0,06	0,06	0,05	0,05	0,05	0,04	0,04	0,04

Injektionssystem Hilti HIT-HY 200-R V3

Leistungsfähigkeit  
Verschiebungen Betonstahl

Anhang C12

**Tabelle C17: Wesentliche Merkmale für Gewindestangen, HAS-U-..., HIT-V-... und AM 8.8 unter Zugbeanspruchung für Seismische Leistungskategorie C1**

Gewindestange, HAS-U-..., HIT-V-... und AM 8.8	M10	M12	M16	M20	M24	M27	M30	
<b>Stahlversagen</b>								
HAS-U-5.8 (HDG), HIT-V-5.8(F), Gewindestange 5.8	$N_{Rk,s,seis}$ [kN]	29	42	79	123	177	230	281
HAS-U-8.8 (HDG), HIT-V-8.8(F), Gewindestange 8.8, AM 8.8	$N_{Rk,s,seis}$ [kN]	46	67	126	196	282	367	449
HAS-U A4, HIT-V-R, Gewindestange A4-70	$N_{Rk,s,seis}$ [kN]	41	59	110	172	247	230	281
HAS-U HCR, HIT-V-HCR, Gewindestange HCR-80	$N_{Rk,s,seis}$ [kN]	46	67	126	196	247	321	393
<b>Kombiniertes Versagen durch Herausziehen und Betonausbruch</b>								
Charakteristische Verbundtragfähigkeit im gerissenen Beton C20/25								
Temperaturbereich I: 40 °C/24 °C	$\tau_{Rk,seis}$ [N/mm <sup>2</sup> ]	5,2	7,0					
Temperaturbereich II: 80 °C/50 °C	$\tau_{Rk,seis}$ [N/mm <sup>2</sup> ]	3,9	5,7					
Temperaturbereich III: 120 °C/72 °C	$\tau_{Rk,seis}$ [N/mm <sup>2</sup> ]	3,5	4,8					

**Tabelle C18: Wesentliche Merkmale für Gewindestangen, HAS-U-..., HIT-V-..., AM 8.8 unter Querbeanspruchung für seismische Leistungskategorie C1**

Gewindestange, HAS-U-..., HIT-V-..., AM 8.8	M10	M12	M16	M20	M24	M27	M30	
<b>Stahlversagen ohne Hebelarm</b>								
HAS-U-5.8 (HDG), HIT-V-5.8(F), Gewindestange 5.8	$V_{Rk,s,seis}$ [kN]	11	15	27	43	62	81	98
HAS-U-8.8 (HDG), HIT-V-8.8(F), Gewindestange 8.8, AM 8.8	$V_{Rk,s,seis}$ [kN]	16	24	44	69	99	129	157
HAS-U A4, HIT-V-R, Gewindestange A4-70	$V_{Rk,s,seis}$ [kN]	14	21	39	60	87	81	98
HAS-U HCR, HIT-V-HCR, Gewindestange HCR-80	$V_{Rk,s,seis}$ [kN]	16	24	44	69	87	113	137

**Tabelle C19: Verschiebungen unter Zugbeanspruchung für Seismische Leistungskategorie C1**

Gewindestange, HAS-U-..., HIT-V-..., AM 8.8	M10	M12	M16	M20	M24	M27	M30
Verschiebung <sup>1)</sup>	$\delta_{N,seis}$ [mm]	0,8	0,8	0,8	0,8	0,8	0,8

<sup>1)</sup> Maximale Verschiebung während der zyklischen Beanspruchung (Erdbeben).

**Tabelle C20: Verschiebungen unter Querbeanspruchung für Seismische Leistungskategorie C1**

Gewindestange, HAS-U-..., HIT-V-..., AM 8.8	M10	M12	M16	M20	M24	M27	M30
Verschiebung <sup>1)</sup>	$\delta_{V,seis}$ [mm]	3,5	3,8	4,4	5,0	5,6	6,5

<sup>1)</sup> Maximale Verschiebung während der zyklischen Beanspruchung (Erdbeben).

**Injektionssystem Hilti HIT-HY 200-R V3**

**Leistungsfähigkeit**

Wesentliche Merkmale Seismische Leistungskategorie C1 und Verschiebungen.

**Anhang C13**

**Tabelle C21: Wesentliche Merkmale für Hilti Zuganker HZA, HZA-R unter Zugbeanspruchung für seismische Leistungskategorie C1**

Hilti Zuganker HZA, HZA-R			M12	M16	M20	M24	M27
<b>Stahlversagen</b>							
Charakteristischer Widerstand HZA	$N_{Rk,s,seis}$	[kN]	46	86	135	194	253
Charakteristischer Widerstand HZA-R	$N_{Rk,s,seis}$	[kN]	62	111	173	248	<sup>1)</sup>
Teilsicherheitsbeiwert	$\gamma_{Ms,N,seis}$ <sup>2)</sup>	[-]	1,4				
<b>Kombiniertes Versagen durch Herausziehen und Betonausbruch</b>							
Durchmesser des Betonstahl	d	[mm]	12	16	20	25	28
Charakteristische Verbundtragfähigkeit im gerissenen Beton C20/25							
Temperaturbereich I:	40°C/24°C	$\tau_{Rk,cr}$	[N/mm <sup>2</sup> ]		6,1		
Temperaturbereich II:	80°C/50°C	$\tau_{Rk,cr}$	[N/mm <sup>2</sup> ]		4,8		
Temperaturbereich III:	120°C/72°C	$\tau_{Rk,cr}$	[N/mm <sup>2</sup> ]		4,4		

<sup>1)</sup> Leistung nicht bewertet.

<sup>2)</sup> Sofern nationale Regelungen fehlen.

**Tabelle C22: Wesentliche Merkmale für Hilti Zuganker HZA, HZA-R unter Querbeanspruchung für seismische Leistungskategorie C1**

Hilti Zuganker HZA, HZA-R			M12	M16	M20	M24	M27
<b>Stahlversagen ohne Hebelarm</b>							
Charakteristischer Widerstand HZA	$V_{Rk,s,seis}$	[kN]	16	30	47	68	88
Charakteristischer Widerstand HZA-R	$V_{Rk,s,seis}$	[kN]	22	39	60	124	<sup>1)</sup>
Teilsicherheitsbeiwert	$\gamma_{Ms,V,seis}$ <sup>2)</sup>	[-]	1,5				

<sup>1)</sup> Leistung nicht bewertet.

<sup>2)</sup> Sofern nationale Regelungen fehlen.

**Tabelle C23: Verschiebungen unter Zugbeanspruchung für seismische Leistungskategorie C1**

Hilti Zuganker HZA, HZA-R			M12	M16	M20	M24	M27
Verschiebung <sup>1)</sup>	$\delta_{N,seis}$	[mm]	1,3	1,3	1,3	1,3	1,3

<sup>1)</sup> Maximale Verschiebung während der zyklischen Beanspruchung (Erdbeben).

**Tabelle C24: Verschiebungen unter Querbeanspruchung für seismische Leistungskategorie C1**

Hilti Zuganker HZA, HZA-R			M12	M16	M20	M24	M27
Verschiebung <sup>1)</sup>	$\delta_{V,seis}$	[mm]	3,8	4,4	5,0	5,6	6,1

<sup>1)</sup> Maximale Verschiebung während der zyklischen Beanspruchung (Erdbeben).

**Injektionssystem Hilti HIT-HY 200-R V3**

**Leistungsfähigkeit**

Wesentliche Merkmale und Verschiebungen für seismische Leistungskategorie C1.

**Anhang C14**

**Tabelle C25: Wesentliche Merkmale für Betonstahl unter Zugbeanspruchung für seismische Leistungskategorie C1**

Betonstahl	φ 10	φ 12	φ 14	φ 16	φ 20	φ 25	φ 26	φ 28	φ 30	φ 32
<b>Stahlversagen</b>										
Charakteristischer Widerstand für Betonstahl B500B nach DIN 488:2009-08 $N_{Rk,seis}$ [kN]	43	62	85	111	173	270	292	339	388	442
<b>Kombiniertes Versagen durch Herausziehen und Betonausbruch</b>										
Durchmesser des Betonstahl $d$ [mm]	10	12	14	16	20	25	26	28	30	32
<b>Charakteristische Verbundtragfähigkeit im gerissenen Beton C20/25</b>										
Temperaturbereich I: 40°C/24°C $\tau_{Rk,cr}$ [N/mm <sup>2</sup> ]	4,4	6,1								
Temperaturbereich II: 80°C/50°C $\tau_{Rk,cr}$ [N/mm <sup>2</sup> ]	3,5	4,8								
Temperaturbereich III: 120°C/72°C $\tau_{Rk,cr}$ [N/mm <sup>2</sup> ]	3	4,4								

**Tabelle C26: Wesentliche Merkmale für Betonstahl unter Querbeanspruchung für seismische Leistungskategorie C1**

Betonstahl	φ 10	φ 12	φ 14	φ 16	φ 20	φ 25	φ 26	φ 28	φ 30	φ 32
<b>Stahlversagen ohne Hebelarm</b>										
Charakteristischer Widerstand für Betonstahl B500B nach DIN 488:2009-08 $V_{Rk,s,seis}$ [kN]	15	22	29	39	60	95	102	118	135	165

**Tabelle C27: Verschiebungen unter Zugbeanspruchung für seismische Leistungskategorie C1**

Betonstahl	φ 10	φ 12	φ 14	φ 16	φ 20	φ 25	φ 26	φ 28	φ 30	φ 32
Verschiebung <sup>1)</sup> $\delta_{N,seis}$ [mm]	1,3	1,3	1,3	1,3	1,3	1,3	1,3	1,3	1,3	1,3

<sup>1)</sup> Maximale Verschiebung während der zyklischen Beanspruchung (Erdbeben).

**Tabelle C28: Verschiebungen unter Querbeanspruchung für seismische Leistungskategorie C1**

Betonstahl	φ 10	φ 12	φ 14	φ 16	φ 20	φ 25	φ 26	φ 28	φ 30	φ 32
Verschiebung <sup>1)</sup> $\delta_{V,seis}$ [mm]	3,5	3,8	4,1	4,4	5,0	5,8	6,2	6,2	6,8	6,8

<sup>1)</sup> Maximale Verschiebung während der zyklischen Beanspruchung (Erdbeben).

**Injektionssystem Hilti HIT-HY 200-R V3**

**Leistungsfähigkeit**  
Wesentliche Merkmale und Verschiebungen für seismische Leistungskategorie C1.

**Anhang C15**

**Tabelle C29: Wesentliche Merkmale für Gewindestange, HAS-U-..., HIT-V... und AM 8.8 unter Zugbeanspruchung für seismische Leistungskategorie C2**

Gewindestange, HAS-U-..., HIT-V-..., AM 8.8		M16	M20	M24
<b>Stahlversagen</b>				
HAS-U 8.8 (HDG), HIT-V (-F) 8.8, AM (HDG) 8.8 Handelsübliche Gewindestange galvanisch verzinkt 8.8	$N_{Rk,s,seis}$ [kN]	126	196	282
<b>Kombiniertes Versagen durch Herausziehen und Betonausbruch</b>				
Charakteristische Verbundtragfähigkeit im gerissenen Beton C20/25 in hammergebohrten Bohrlöchern und hammerbohrten Löchern mit Hilti Hohlbohrer TE-CD oder TE-YD				
Temperaturbereich I: 40 °C/24 °C	$\tau_{Rk,seis}$ [N/mm <sup>2</sup> ]	3,9	4,3	3,5
Temperaturbereich II: 80 °C/50 °C	$\tau_{Rk,seis}$ [N/mm <sup>2</sup> ]	3,3	3,7	2,9
Temperaturbereich III: 120 °C/72 °C	$\tau_{Rk,seis}$ [N/mm <sup>2</sup> ]	2,8	3,2	2,5

**Tabelle C30: Wesentliche Merkmale für Gewindestangen, HAS-U-..., HIT-V-... und AM 8.8 unter Querbeanspruchung für seismische Leistungskategorie C2**

Gewindestange, HAS-U-..., HIT-V-..., AM 8.8		M16	M20	M24
<b>Stahlversagen ohne Hebelarm mit Hilti Verfüll-Set</b>				
HAS-U 8.8, HIT-V 8.8, AM 8.8	$V_{Rk,s,seis}$ [kN]	46	77	103
<b>Stahlversagen ohne Hebelarm ohne Hilti Verfüll-Set</b>				
HAS-U 8.8, HIT-V 8.8, AM 8.8	$V_{Rk,s,seis}$ [kN]	40	71	90
HAS-U 8.8 HDG, HIT-V-F 8.8, AM-HDG 8.8	$V_{Rk,s,seis}$ [kN]	30	46	66
Handelsübliche Gewindestange, galvanisch verzinkt 8.8	$V_{Rk,s,seis}$ [kN]	28	50	63

Injektionssystem Hilti HIT-HY 200-R V3

**Leistungsfähigkeit**

Wesentliche Merkmale für seismische Leistungskategorie C2.

**Anhang C16**

**Tabelle C31: Verschiebungen unter Zugbeanspruchung für seismische Leistungskategorie C2**

Gewindestange, HAS-U-..., HIT-V-..., AM 8.8		M16	M20	M24
Verschiebung DLS, HAS-U 8.8 (HDG), HIT-V (-F) 8.8, AM (HDG) 8.8	$\delta_{N,seis(DLS)}$ [mm]	0,2	0,5	0,4
Verschiebung ULS, HAS-U 8.8 (HDG), HIT-V (-F) 8.8, AM (HDG) 8.8	$\delta_{N,seis(ULS)}$ [mm]	0,6	0,8	1,0

**Tabelle C32: Verschiebungen unter Querbeanspruchung für seismische Leistungskategorie C2**

Gewindestange, HAS-U-..., HIT-V-..., AM 8.8		M16	M20	M24
<b>Einbau mit Hilti Verfüll-Set</b>				
Verschiebung DLS, HAS-U 8.8, HIT-V 8.8, AM 8.8	$\delta_{V,seis(DLS)}$ [mm]	1,2	1,4	1,1
Verschiebung ULS, HAS-U 8.8, HIT-V 8.8, AM 8.8	$\delta_{V,seis(ULS)}$ [mm]	3,2	3,8	2,6
<b>Einbau ohne Verfüll-Set</b>				
Verschiebung DLS, HAS-U 8.8, HIT-V 8.8, AM 8.8	$\delta_{V,seis(DLS)}$ [mm]	3,2	2,5	3,5
Verschiebung DLS, HAS-U 8.8 HDG, HIT-V-F 8.8, AM HDG 8.8	$\delta_{V,seis(DLS)}$ [mm]	2,3	3,8	3,7
Verschiebung ULS, HAS-U 8.8, HIT-V 8.8, AM 8.8	$\delta_{V,seis(ULS)}$ [mm]	9,2	7,1	10,2
Verschiebung ULS, HAS-U 8.8 HDG, HIT-V-F 8.8, AM HDG 8.8	$\delta_{V,seis(ULS)}$ [mm]	4,3	9,1	8,4

**Injektionssystem Hilti HIT-HY 200-R V3**

**Leistungsfähigkeit**  
Verschiebungen für seismische Leistungskategorie C2.

**Anhang C17**